

АКАДЕМИЯ НАУК СССР
ДАЛЬНЕВОСТОЧНЫЙ НАУЧНЫЙ ЦЕНТР
ТИХООКЕАНСКИЙ ОКЕАНОЛОГИЧЕСКИЙ ИНСТИТУТ



"УТВЕРЖДАЮ"

Директор ТОИ ДВНЦ АН СССР,
академик *B.I. Il'yichev* В.И.Ильичёв
"31" марта 1983 г.

ОТЧЕТ О ГЕОЛОГИЧЕСКИХ ИССЛЕДОВАНИЯХ
В 39 РЕЙСЕ НИС "ПЕРЕВЕНЕЦ"
(Японское море, экономическая зона КНДР)

Зам. директора по науке,
д.ф.-м.н.

B.A. Akulichev

B.A. Akulichev

Заведующий лабораторией
геологических формаций,
к.г.-м.н.

E.P. Lelikov

E.P. Lelikov

Владивосток,
1983 г.

Реферат

Отчет 115 стр., II таблиц, 17 рисунков, 2 текстовых приложений. Выполнены эхолотные промеры, отбор горных пород драгами, прямоточными трубками, дночерпательями. Установлены метаморфические, магматические и осадочные породы, фосфориты, железо-марганцевые образования, рыхлые отложения.

Изложены результаты 39 рейса м/s "Первенец" весной-летом 1982 года в Японском море в экономической зоне КНДР, выполненного отделом геологии ТОИ ДВНЦ АН СССР совместно с сотрудниками научно-исследовательского института Географии и геологии моря КНДР. Обследованы восточный и северо-восточный склоны подводных возвышенностей Восточно-Корейской и Криштофовича, возвышенность Гебасс. Описаны рельеф и геологическое строение обследованных участков дна. На возвышенности Геббас получены материалы, свидетельствующие о том, что в доплиоценовое время эта вулканическая постройка, вероятно, была островом возвышающимся над уровнем моря, а затем опустилась более чем на 1600 м ниже его уровня. На Восточно-Корейской возвышенности оконтурена площадь (6 км^2) распространения фосфоритов (с содержанием P_2O_5 26–30%) проведено изучение их состава, характера распространения и залегания и проведены оценочные работы по их обогащению. Установлено их стратиграфическое положение в основании верхнемиоценовых отложений.

Список исполнителей

1. Бирюлина М.Г. к.б.н., с.н.с. (раздел 5).
2. Гусев В.В. мл.н.с. (раздел 6, рис. 3.3, 4.1, 6.1, 6.2).
3. Евланов Ю.Б. к.г.-м.н., с.н.с. (раздел 4, приложения I-T, рис. 3.1, 3.3, 3.4, 4.1).
4. Леликов Е.П. к.г.-м.н., зав.лабораторией (разделы I,2,3,4,6, рис. 1.1, 3.2, 3.4, 3.5, 4.2).
5. Марков Ю.Д. к.г.-м.н., с.н.с. (раздел 5, приложение 2-T, рис. 5.1, 5.2).
6. Свининников А.И. м.н.с. (раздел 4).
7. Терехов Е.П. м.н.с. (раздел 4).
8. Школьник Э.Л. к.г.-м.н. (раздел 6).

Оглавление

	стр.
I. Введение	6
2. Методика, организация и объем выполненных работ . . .	7
3. Результаты геоморфологических исследований	12
3.1. Полигон I5-Б	13
3.2. Полигон I6-В	13
3.3. Полигон I6-Д	18
3.4. Полигон I8-Г	18
3.5. Полигон 27	19
4. Результаты изучения пород дочетвертичного возраста	21
4.1. Полигон I6-Д	21
4.2. Полигон I6-В	31
4.3. Восточно-Корейская возвышенность (вне полигонов)	32
4.4. Полигон I8-Г	33
4.5. Полигон 27	34
5. Четвертичные отложения	39
5.1. Верхнеплейстоценовые отложения	42
5.2. Голоценовые отложения	47
6. Полезные ископаемые	49
6.1. Фосфориты	49
6.2. Железо-марганцевые породы	72
7. Заключение	74
Литература	76
Текстовые приложения.	
1-т. Каталог станций драгирования	78
2-т. Каталог станций опробования четвертичных отложений	90

Список рисунков

- I.1. Карта схема 39 рейса
 - Карты фактического материала
- 3.1. Полигон I5-Б
- 3.2. Полигон I6-В
- 3.3. Полигон I6-Д
- 3.4. Полигон I8-Г
- 3.5. Полигон 27
- 4.1. Схематическая геологическая карта
 - полигон I6-Д.
- 4.2. Диаграмма соотношения суммы щелочей и кремнезема в вулканитах
- 5.1. Схема отбора проб четвертичных отложений.
- 5.2. Схема корреляции четвертичных отложений.
- 6.1. Схема концентраций фосфоритов на полигоне I6-Д.
- 6.2. Схема распределения фосфатного материала по величине обломков.
- 6.3. Обломки фосфоритов поднятые на станции 226I.
- 6.4. Графики дифференциального термического анализа фосфоритов.
- 6.5. Спектры поглощения твердого фосфорита.
- 6.6. Обломки слабоконсолидированных фосфоритов.
- 6.7. ИК-спектры слабоконсолидированных фосфоритов.

Введение

В настоящем отчете изложены результаты геологических исследований проведенных в 39 рейсе нис "Первенец" Тихоокеанским океанологическим институтом ДВНЦ АН СССР в Японском море в пределах экономической зоны Корейской Народной Демократической Республики. Эти работы выполнялись с двумя заходами в порты КНДР - Хыннам (20-23 мая) и Вонсан (18-23 июня). При этом время экспедиционных работ составило 26 суток (с 23 мая по 18 июня 1982 г.).

Целью экспедиции являлось продолжение изучения геологического строения и перспектив фосфатоносности дна Японского моря.

Выполнение работ в пределах экономической зоны КНДР проводилось совместно с четырьмя корейскими специалистами, которые были приняты на борт "Первенца" 22 мая в порту Хыннам и высажены в Вонсане 18 июня после завершения работ. Здесь были проведены исследования на всех четырех запланированных полигонах, кроме того, дополнительно были выполнены исследования на полигоне I6-B, а также проведено драгирование и отбор проб рыхлых отложений прямоточными трубками дополнительно вне полигона.

Состав экспедиции приведен в таблице I.I. Капитаном судна был Е.К.Микульчик, старшим помощником О.Е.Фещенко, вторым помощником В.Я.Сиваченко, третьим - Л.Г.Моргун.

Во время рейса преобладала штилевая погода, штормовая погода с волнением 5-6 баллов была в середине и конце этого этапа. Потери времени из-за штормов составили 2 суток.

Кроме того, непроизводительные расходы времени были связаны с проведением профилактического ремонта на судне, что составило более 2 суток, а также с тем, что состав экспедиции не был укомплектован полностью специалистами, способными самостоятельно

выполнять все геологические работы и поэтому драгирование проводилось одной бригадой работающей по 12 часов. Выполнение забортных работ одной бригадой было обусловлено необходимостью участия в рейсе четырех корейских специалистов, которые не имели практики морских исследований и не знали русского языка и находились в качестве стажеров. Поэтому в тех случаях, когда мы работали на полигонах, частично или полностью заснятых эхолотной съемкой (полягоны I6-В, I6-Д, 27-А) в предыдущих рейсах, работы в ночное время не производились, что привело к потерям времени, которые составили свыше 3 суток.

Расход времени по видам работ приведен в таблице I.2.

2. Методика, организация и объем выполненных работ

2.1. Методика работ

2.1.1. Методика геоморфологических исследований.

Основой геоморфологических исследований служат батиметрические карты полигонов, составленные по материалам эхолотных промежуточных съемок с помощью эхолота Кельвин-Хьюз с записью через усилитель на самописец ФАК-П. Перед рейсом аппаратура была проверена с выходом в глубоководную часть моря. Весь рейс эхолот работал удовлетворительно. Неисправности прибора ФАК-П устранил Е.П. Терехов.

Батиметрические карты составлялись в трех масштабах. (Рис.1.1) Карты масштаба 1:25000 составлялись для небольших площадей (полягоны I6-Д, I6-В, I8-Г) с привязкой с занятым буем по РЛС "Дон" с расстоянием между галсами в среднем через 1 милю, причем галсы располагались примерно перпендикулярно направлению длинной оси возвышенности или крутого склона. Координаты буев определялись по РЛС "Лоран-А" один или два раза в сутки. На полигоне I6-Д и

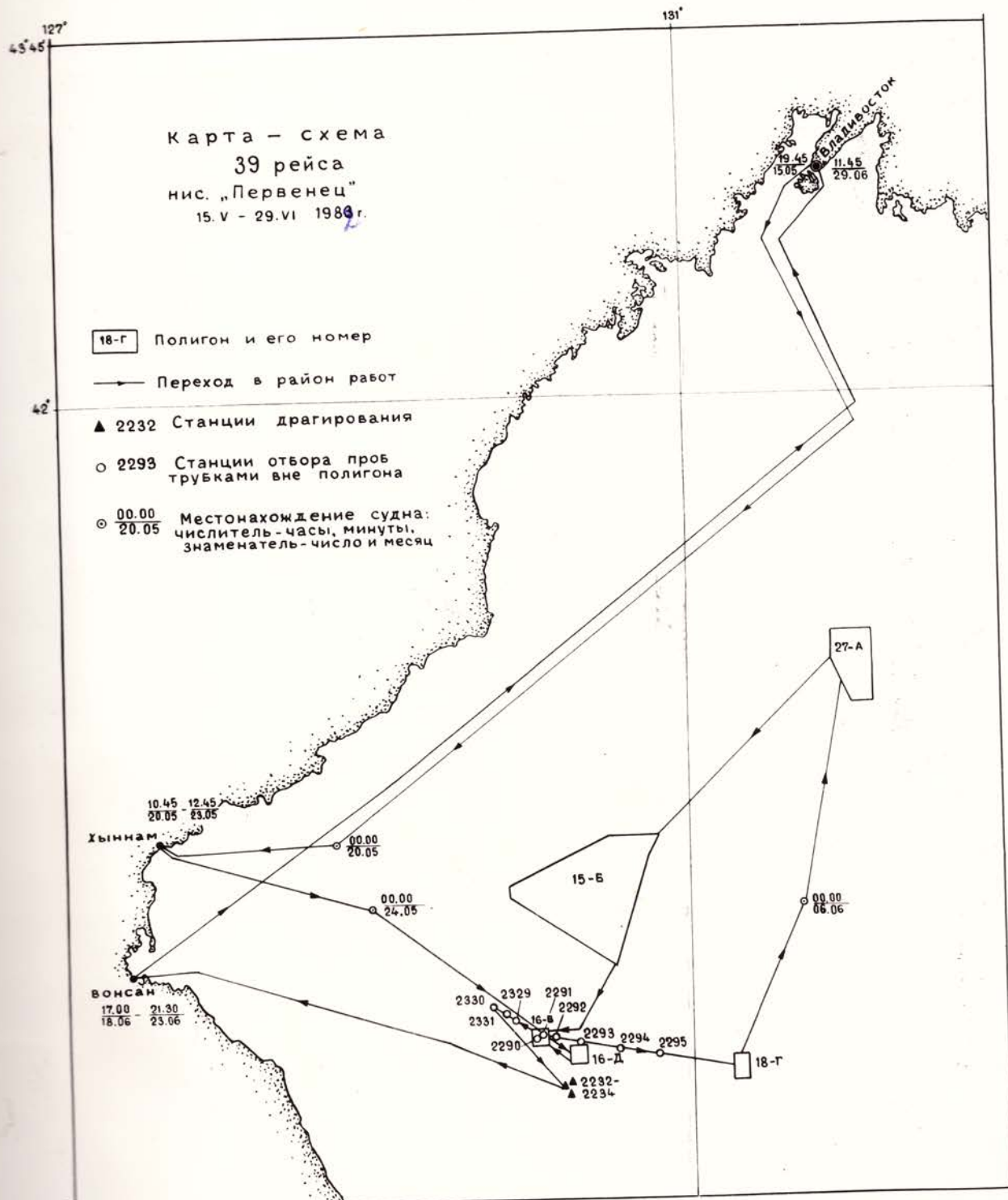


Рис. 1.1

Таблица I.1

Состав экспедиции 39 рейса нис "Первенец"

№ п/п	Должность	Фамилия И.О.	Организация, страна
I.	Начальник экспедиции, к.г.-м.н.	Леликов Евгений Петрович	ТОИ, СССР
2.	Зам. начальника экспедиции	Терехов Евгений Петрович	- " -
3.	Начальник отряда	Гусев Владимир Васильевич	- " -
4.	с.н.с., к.г.-м.н.	Евланов Юрий Борисович	- " -
5.	с.н.с., к.б.н.	Бирюлина Мария Гавриловна	- " -
6.	с.н.с., к.г.-м.н.	Марков Юрий Денисович	- " -
7.	м.н.с.	Дудник Александр Николаевич	ДВГИ, СССР
8.	инженер	Пак Ен Хва	КНДР
9.	инженер	Ким Ен Гап	КНДР
10.	инженер	Ким Ень Иль	КНДР
II.	инженер	Ли Джан Су	КНДР

Таблица I.2.

Расход времени по видам работ

№ п/п	Виды работ	Всего часов, минут	% к итогу
I.	Переходы	86	13,6
2.	Драгирование	222	35,5
3.	Отбор проб трубками	23,	3,7
4.	Отбор проб дночерпательями	32,	5,1
5.	Эхолотные промеры	72	11,5
6.	Установка и снятие буев	11	1,7
7.	Профилактический ремонт	55,	8,8
8.	Простоя из-за штурмов	51,	8,1
9.	Прочие потери времени	75	12,0
Всего :		626,00	100,00
или 26,08 суток			

I8-Г имело место перемещение буя примерно на одну милю к северу из-за сильного ветрового дрейфа в этом направлении. При этом новое местоположение буев было определено своевременно и часть станций драгирования и отбора проб черпаками были привязаны к уточненному местоположению буя, а на полигоне I8-Г часть галсов была привязана к новому местоположению буя.

Карты масштаба I:50 000 (полигон 27-А) и масштаба I:100 000 (I5-Б) строились на основе эхолотных промеров, пройденных с помощью привязки галсов по системе "Лоран-А". Здесь галсы проходились в среднем через две мили, а на полигоне I5-Б были пройдены только рекогносцировочные галсы с целью поиска мест удобных для драгирования. Такие места найдены не были и поэтому стущение редкой сети галсов, пройденных по северному и юго-восточному склону Восточно-Корейской возвышенности, проводить было не целесообразно.

Система "Лоран-А" не всегда работала надежно, особенно плохо наблюдался сигнал 255 в ночные часы на северных полигонах (27-А), что приводило к значительным невязкам отдельных галсов, которые либо проходились заново, либо исключались при построении батиметрической карты полигона. Точность определения по системе "Лоран-А" колебалась от 0,5 до 2 миль.

2.1.2. Методика геологических исследований.

В 39 рейсе выполнялись основные виды геологических исследований: драгирование, отбор проб рыхлых отложений прямоточными трубками и дночерпателями.

Драгирование проводилось на крутых (20° и более) склонах, в направлении от более нижних участков склона к верхним. Драга волочилась по дну на малом ходу судна до появления зацепов её за выступы коренных пород, которые фиксировались по натяжению

троса траловой лебедки. Подъем драги на борт выполнялся после остановки судна. При глубинах до дна менее 2000 м драгирование проводилось с одного барабана траловой лебедки, а свыше 2000 м с двух барабанов. Поднятые образцы описывались в журнале драгирования из них непосредственно на борту судна отбирались шлифы, пробы на химический анализ, определение радиоизотопного возраста и другие виды анализов.

Отбор рыхлых отложений проводился прямоточными трубками с участков пологих склонов, ровных поверхностей вершин возвышенностей или дна котловины, т.е. с участков возможного накопления этих отложений.

Обработка керна прямоточных трубок производилась по принятой методике. После замера длины и его общего описания керн разрезался вдоль длинной оси на две половины. Из одной половины отбирались пробы на гранулометрический, палинологический, диатомовый анализ. Вторая половина колонки высушивалась по интервалам и сохранялась в качестве дубликата. Для более точного названия осадка изготавливались тонкие препараты ("мазки") и сразу просматривались под микроскопом.

2.2. Организация работ

Из научного состава экспедиции были образованы две бригады (бригадиры Ю.Д.Марков и Е.П.Терехов), обеспечивавшие все палубные работы - установку и снятие буев, драгирование, отбор проб и дночерпательями. В работе этих бригад принимали участие корейские специалисты Ли Джан Су и Ким Инь Иль. Вахты на палубе несли Ю.Б.Евланов, М.Г.Бирюлина и частично В.В.Гусев. Документацию дочетвертичных пород выполнял Ю.Б.Евланов, опробование и документацию фосфоритов В.В.Гусев, а рыхлых отложений - Ю.Д.Марков и М.Г.Бирюлина. В документации пород принимал участие

Ким Ен Гап. Драгированием руководил Е.П.Леликов.

Объем выполненных работ приведен в табл. 2.1.

Таблица 2.1.

Объем выполненных работ

Номер полигона	Виды работ, количество станций					площадь полигона в км ²	масштаб I:25000 в км ²	масштаб I:50000 в км ²
	дра- гирова- ние	прямо- точные трубы	дно- черпа- тели	эхолот- ные проме- ры в милях				
Полигон I6-Д	21	-	12	46,0	68,45	-		
Полигон I6-В	7	-	-	37,0	68,45	-		
Полигон I8-Г	3	-	8	36,0	102,67			
Полигон 27-А	16	-	-	90,0	-	677,65		
Полигон I5-Б	-	-	-	165,0	-	-		
Вне полигонов	3	-	-	-	-	-		
Профиль трубок вне полигона	-	9	-	-	-	-		
	50	9	20	374,0	239,57	677,65		

3. Результаты геоморфологических исследований

В Японском море изучение рельефа дна проводилось на отдельных полигонах в его западной части, в пределах склонов крупных возвышенностей (Восточно-Корейской, Криштофовича) и отдельных вулканических хребтов (Гебасс и др.). Эти исследования проводились с помощью эхолотных промеров направленных вкrest направления длиной оси этих морфоструктур пройденных с различными расстояниями между промерными галсами от 1 до 5 миль.

3.1. Полигон I5-B (рис. 3.1) расположен на северо-западной оконечности Восточно-Корейской возвышенности между полигонами I5 и I5-A, изученными в предыдущих рейсах нис "Первенец". Оконечность возвышенности представляет собой сужающееся на северо-восток плато, ровная поверхность которого полого погружается на северо-восток от глубины 1100 до 1500 метров. Слоны возвышенности пологие, постепенно переходящие в ровную поверхность Центральной глубоководной котловины на глубине 3000 м. Наибольшей крутизной ($9-10^{\circ}$) характеризуется северо-северо-западный, а наименьшей ($2-5^{\circ}$) юго-восточный склон.

3.2. Полигон I6-B (рис. 3.2) расположен на одиночной подводной горе возвышающейся над равнинной поверхностью Восточно-Корейской возвышенности, координаты центра полигона $38^{\circ}49$ с.ш. и $129^{\circ}58$ в.д. Здесь в 30 рейсе нис "Первенец" в 1978 году были пройдены промерные галсы через 2-3 мили. В 39 рейсе были дополнительно пройдены промерные галсы в широтном направлении с привязкой к заякоренному бую I02.

Эта гора в плане имеет форму эллипса вытянутого в северо-восточном направлении с размерами 6х4 и оконтуривается изобатой 1300 м. С юга и юго-запада она окружена узкой углубляющейся на запад V - образного профиля долиной врезаной на 100-150 м. Глубина у южного и восточного подножий достигает 1500-1600 м, на севере и северо-западе от горы глубины поверхности долины редко превышают 1300 м. Минимальные отметки (менее 1100 м) обнаружены в юго-западной части горы. Привершинная поверхность с глубинами 1100-1200 м пологая, выровненная. Наиболее крутые ($30-14^{\circ}$) южный, юго-западный и юго-восточный склоны. Северный, северо-западный и северо-восточный склоны более пологие ($14-8^{\circ}$).

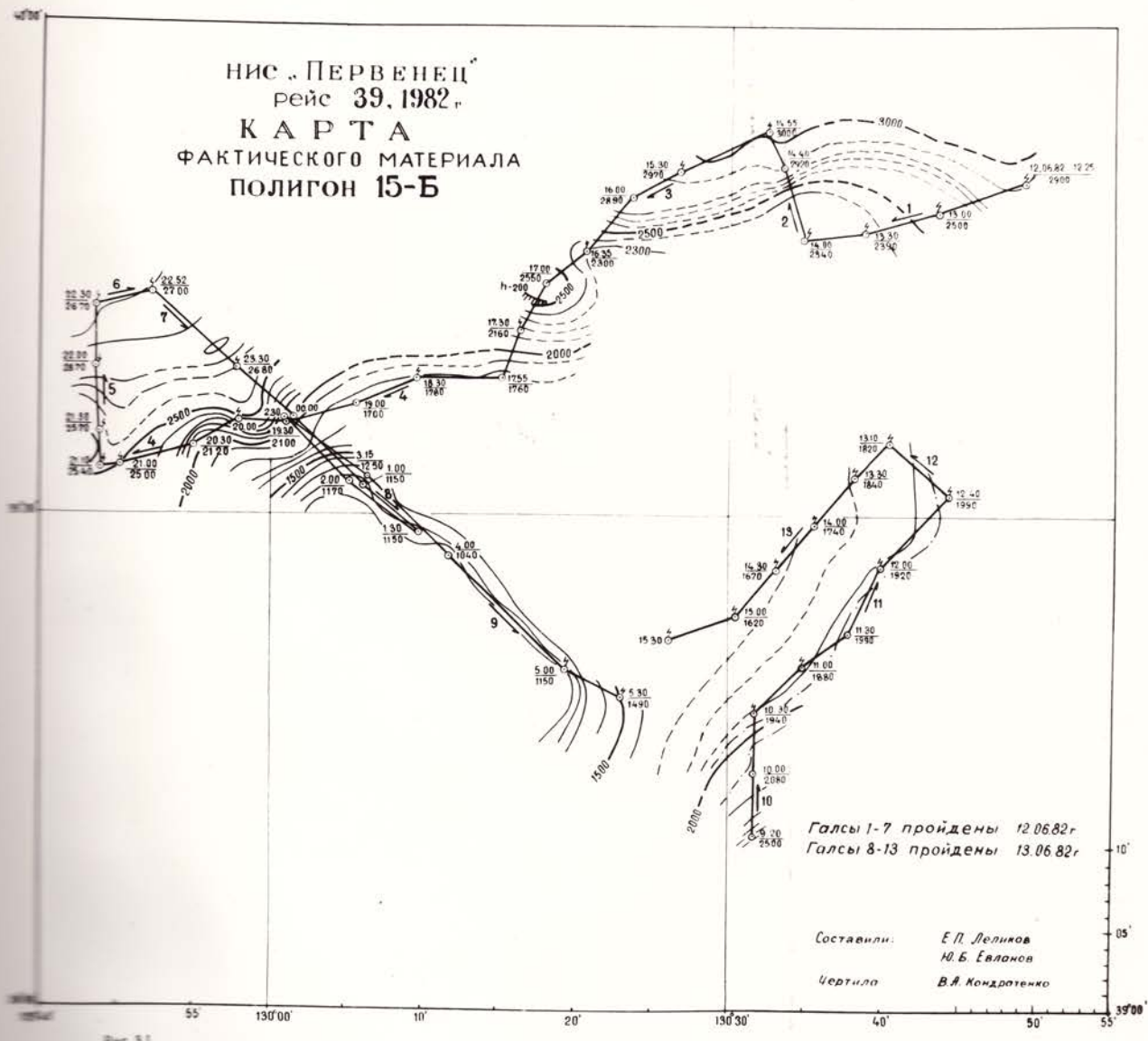


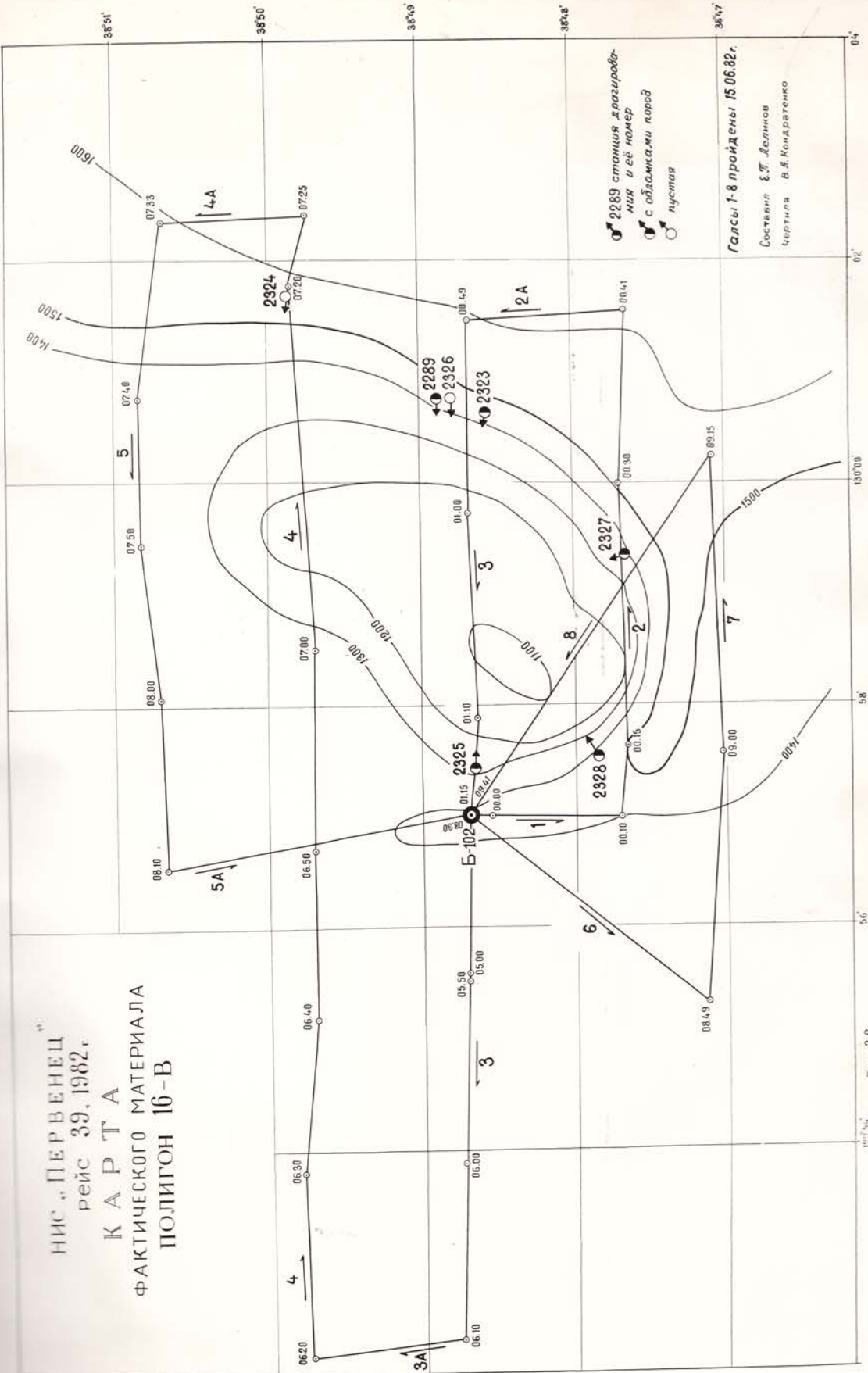
Рис. 31

НИС „ПЕРВЕНЕЦ“
рейс 39, 1982 г.
К А Р Т А
ФАКТИЧЕСКОГО МАТЕРИАЛА
ПОЛИГОН 16-В

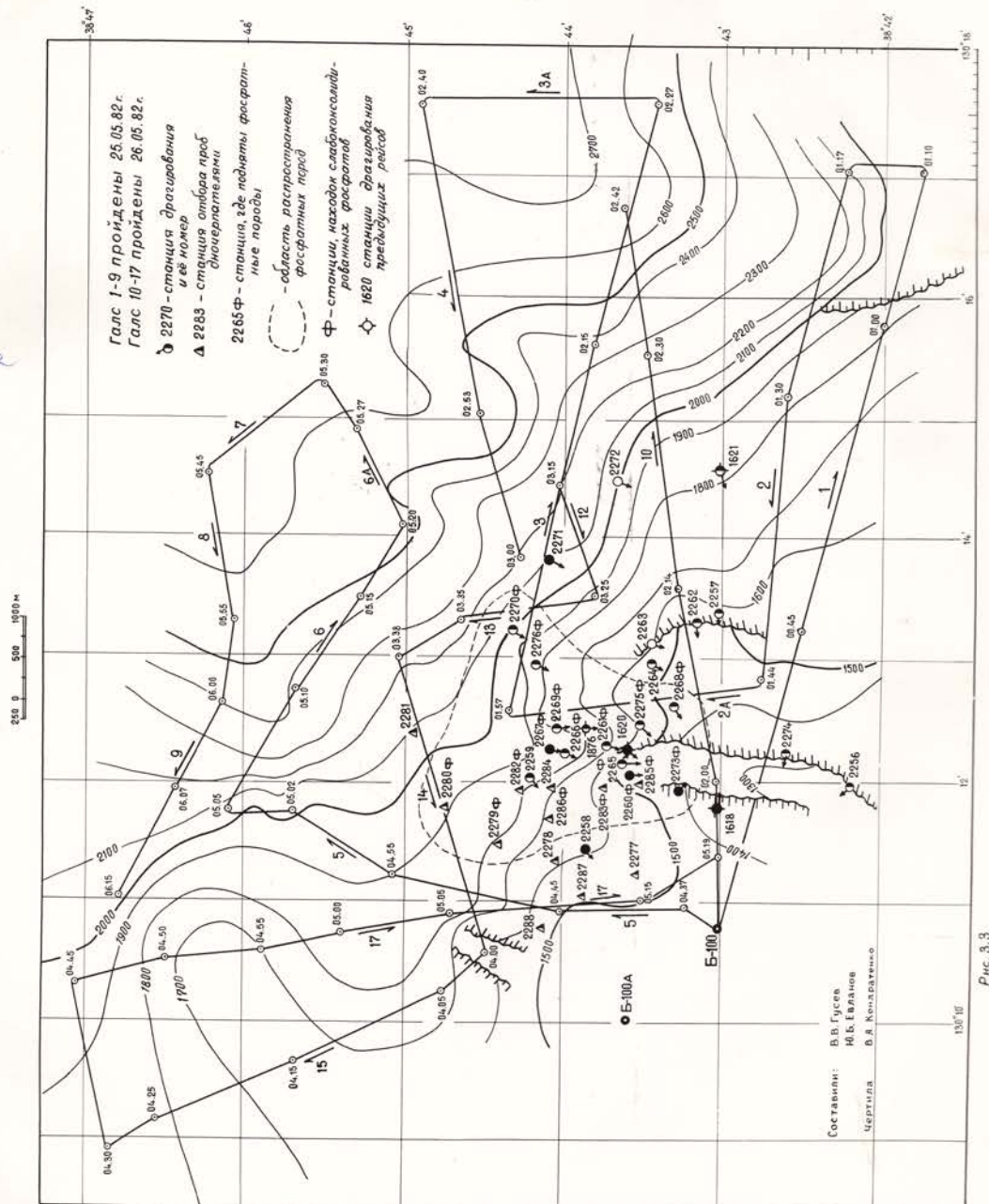
песни 39, 1982 г.

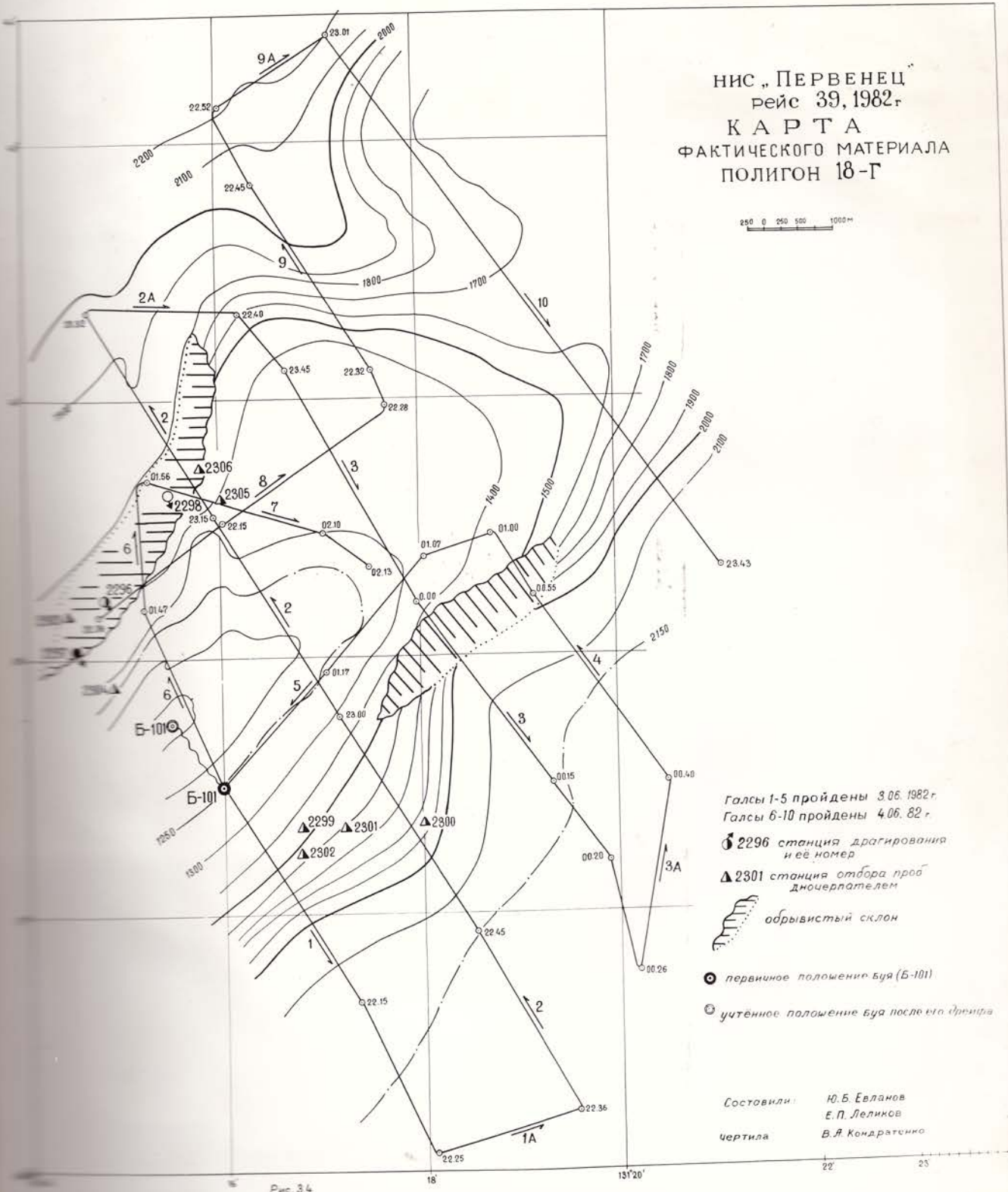
A P T A

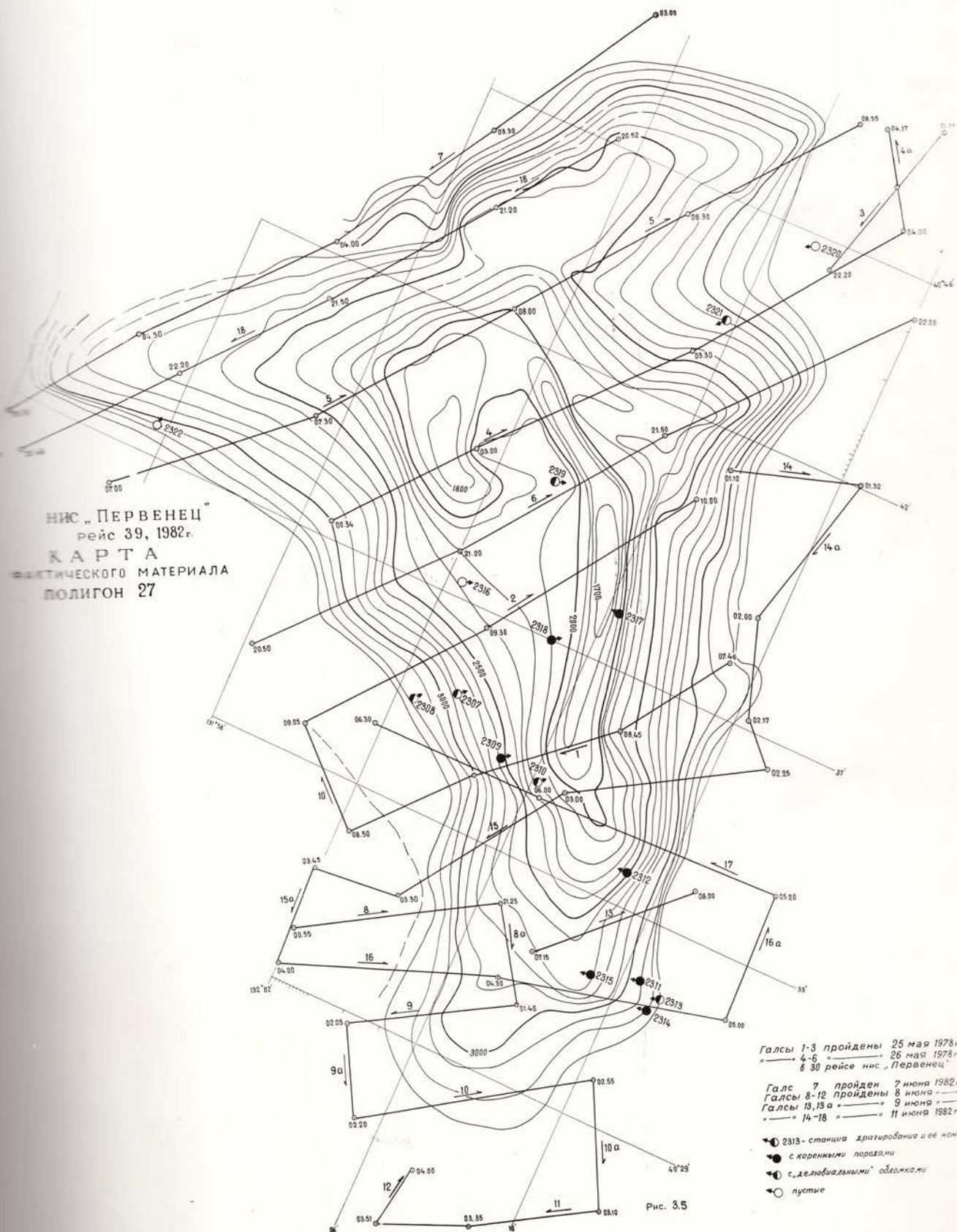
ФАКТИЧЕСКОГО МАТЕРИАЛА ПОЛИГОН 16-В



НИС "ПЕРВЕНЕЦ"
рейс 39, 1982 г.
КАРТА
ФАКТИЧЕСКОГО МАТЕРИАЛА
ПОЛИГОН 16-Д







3.3. Полигон I6-Д (рис. 3.3) расположен на восточном склоне Восточно-Корейской возвышенности в её средней части. Координаты полигона $38^{\circ}42'$ и $38^{\circ}47'$ с.ш. и $130^{\circ}09'$ и $130^{\circ}18'$ в.д. Площадь изученного участка свыше 65 км^2 . Изучение рельефа полигона было выполнено в основном в 30 рейсе нис "Первенец", а в 39 рейсе пройдены дополнительные галсы в его западной части с целью уточнения подводного рельефа на участке распространения фосфоритов.

В пределах полигона наблюдается склон северо-восточного направления, прослеживающийся от глубины 1300 до 2700 м. В верхней его части отмечается узкий (до 600 м) хребет меридионального направления вытянутый на 3 км. Гребень хребта выровненный, склоны крутизной $15-20^{\circ}$, а у северного, восточного и западного его бортов отмечаются обрывы высотой до 100 м. Ниже обрывов хребта склоны более пологие их крутизна $20-25^{\circ}$ в средней части и $6-8^{\circ}$ на глубинах более 2500 м. Склоны осложнены обрывами, которые протягиваются в субмеридиональном направлении отличном от основного северо-западного простирания склона до глубины 1600-2000 м. Ниже этих отметок рельеф склона более спокойный осложнен ложбинами и узкими долинами, имеющими в основном, как и обрывы, субмеридиональное простирание.

3.4. Полигон I8-Г (рис. 3.4) расположен на северном окончании возвышенности Криштофовича и является северо-восточным продолжением полигона I8-Б изученного в 30 рейсе нис "Первенец". Он разбит на восточном окончании Северного горста представляющего собой хребет северо-восточного направления. Площадь полигона приблизительно 100 км^2 , координаты его центра $38^{\circ}40'$ с.ш. и $131^{\circ}17'$ в.д. Здесь пройдено 6 галсов северо-западного направления с привязкой к высокоренному бую 101.

Поверхность хребта шириной 3-4 км пологая глубина её плавно возрастает с юго-запада на северо-восток от 1100 до 1400 м.

Уклон в этом направлении не превышает 6° . Поверхность хребта в северо-восточной части полигона ограниченная изобатами 1300-1400 м имеет вид плато размером 2,5x4 км. Северо-западный и юго-восточный склоны хребта крутые $25-30^{\circ}$, осложнены обрывами, которые наблюдаются в интервале глубин 1400-2000 м с юга и 1400-1800 с севера. Северо-восточный склон более пологий крутизна его до изобаты 1800 м не более 15° , а затем он становится еще более пологим.

3.5. Полигон 27 (рис. 3.5) расположен в западной части Центральной глубоководной котловины, охватывая возвышенность Гебасс, золотная съемка в отдельных частях которой выполнялась ранее в 29 и 30 рейсах нис "Первенец". Исследования 39 рейса существенно дополнили и уточнили представления о форме возвышенности, имеющей трапециoidalную форму с широкой северной стороной и характере склонов, оказавшихися более изрезанными. Было прослежено южное и северное замыкание возвышенности оконтуренное изобатами 3300-3400 м. Склоны возвышенности опираются на дно котловины с резким перегибом у подножья, где их крутизна составляет $10-12^{\circ}$. Ширина возвышенности по подошве и северной части составляет 28 км, сужаясь на юном окончании до 8 км. Хребет с севера на юг протягивается почти на 40 км.

Наиболее крутой прямолинейного профиля восточный склон возвышенности (до 32°) осложнен барранкосами, прорезающими его в ~~шире~~ мест от вершины хребта до подножья. Слабо извилистый в плане, дугообразный в профиле юго-западный склон поднимается до от ~~ширин~~ 1900-2100 м. Этот склон более пологий до 25° . Северный склон также изрезан пологими долинами и его общий уклон не превышает 25° , а южный склон еще более пологий $15-20^{\circ}$.

Вершинная часть хребта оконтуривается изобатами 2000-1610 м осложнена округлыми и вытянутыми вершинами с отметками 1200-1610 м. В средней части возвышенности наблюдаются два хребта овальной формы. Выпуклая сторона дуги восточного хребта обращена на северо-восток, а западного на северо-запад. В целом они ограничивают циркообразную впадину, напоминающую кальдеру открытую в юго-западном направлении, стенки которой поднимаются почти отвесно над её днищем на высоту 40-80 м.

4. Результаты изучения пород дочетвертичного возраста

В настоящем разделе дана характеристика пород дочетвертичного возраста полученных путем драгирования и при отборе проб дночерпательями. Их описание приводится по отдельным полигонам, а в пределах полигонов от предположительно более древних комплексов к молодым.

Большинство полигонов изученных в 39 рейсе в Японском море либо продолжают, либо перекрывают площади полигонов предыдущих рейсов и поднятые породы являются представителями комплексов описанных в предыдущих рейсах, что позволяет использовать в настоящем отчете ранее полученные данные по радиоизотопному возрасту и химическому составу пород.

4.1. Полигон I6-Д. Он охватывает участок восточного склона средней части Восточно-Корейской возвышенности, в пределах которого был проведен отбор пород дочетвертичного возраста на 20 станциях драгирования и 10 станциях с помощью дночерпателя, характеризующее геологическое строение склона в интервале глубин от 1300 до 2100 м. Эти данные позволили построить схематическую геологическую карту этого участка склона и возвышенности (рис. 4.1).

Он сложен преимущественно базальтовыми лавами, туфами основного состава и вторично измененными породами.

Примыкающая с севера котловина выполнена неогеновыми осадоч-

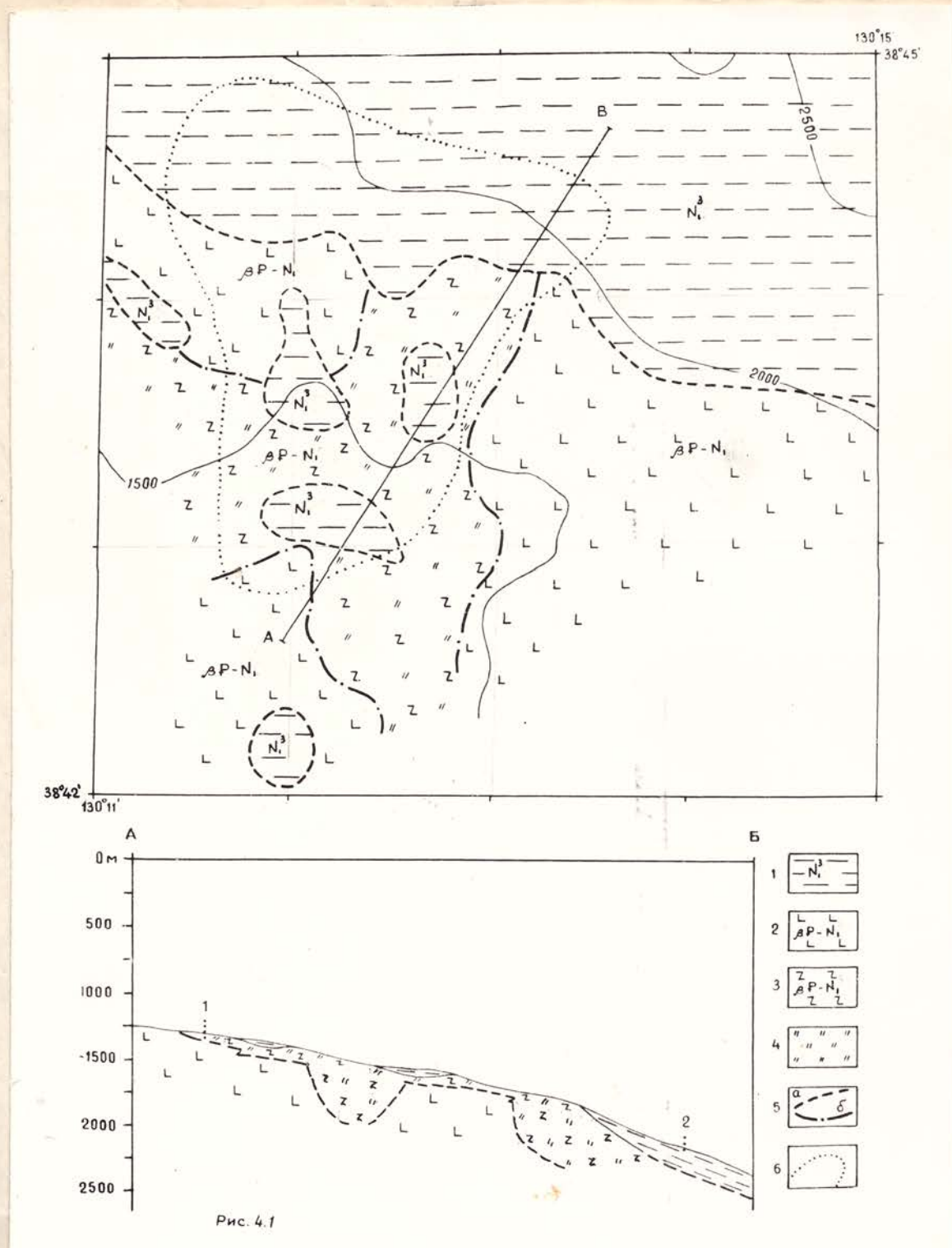


Рис. 4.1

Схематическая геологическая карта полигона 16-Д и геологический разрез по линии А-Б

I - вулканогенно-осадочные и осадочные слабоуплотненные породы, 2 - базальты пористые и туфы основного состава, 3 - стекловатые лавы основного состава, 4 - зона развития вторично-измененных базальтоидов (глауконит-силицитовые породы), 5 - геологические границы: а) между базальтами и осадочными породами неогена, б) вторично измененных пород, 6 - ореол распространения фосфатных пород.

На разрезе: I - верхняя, 2 - нижняя границы распространения фосфатных пород.

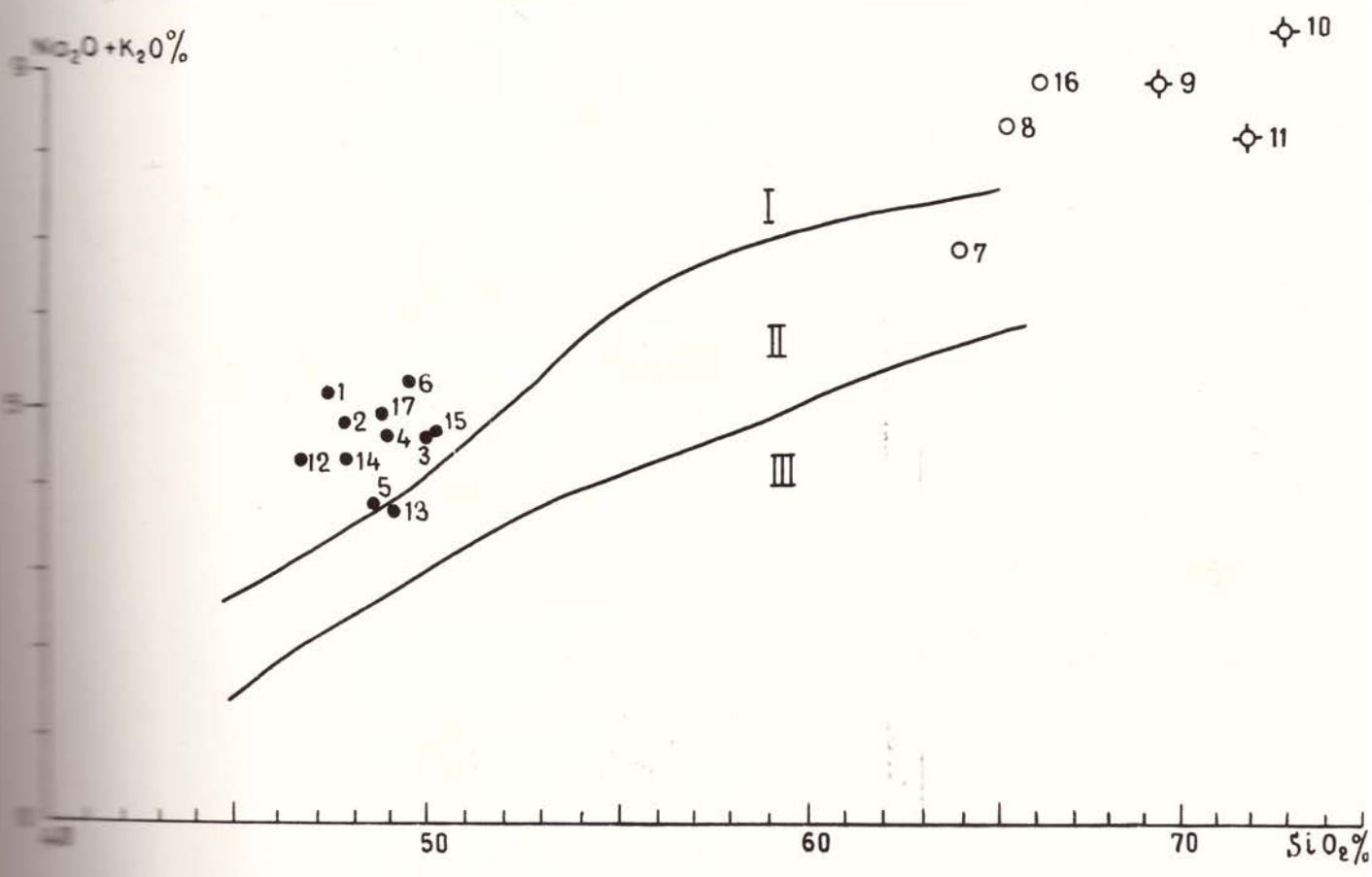


Рис. 4.2

Диаграмма соотношения суммы щелочей и кремнезема в вулканитах (диаграмма Х.Куно). Номера точек соответствуют порядковым номерам химических анализов табл. 4.1.

ными породами, которые сохранились также в пределах небольших изолированных участков, на склонах возвышенности, где, по-видимому, перекрывают породы базальтоидного комплекса.

4.1.1. Базальты. Для этих пород повсеместно характерна шаровая отдельность. Обычно в драгах обнаруживаются сегменты "шаров" различной величины. Внутренняя зона таких образований нередко отличается лучшей раскристаллизованностью основной массы с обилием микролитов плагиоклазов и зерен пироксенов, меньшим количеством крупных часто незаполненных миндалин, а также более ясно выраженной порфировой структурой. По текстурным признакам среди всех обнаруженных базальтов преобладают миндалекаменные разности. Чаще всего фенокристаллы при порфировых структурах представлены пироксенами и плагиоклазами (55–60% An), очень редки псевдоморфозы вторичных минералов по оливину. Основная масса базальтов представлена черным непросвечивающим стеклом с интерсертальной или гиалопилитовой структурой. Миндалины в основной массе как заполненные более поздними минералами, так и пустые, разновеликие, круглые, овальные, неправильной формы, нередко соединяющиеся каналцами. Выполнение миндалин происходит за счет палагонита, минералов группы эпоксидитов, нередки оторочки глауконита. По стеклу основной массы участками также развит палагонит. По химическому составу (табл. 4.1.) базальты относятся к щелочной серии Х.Куно (I, рис.4.2).

Кроме базальтов драгами были одновременно подняты, но в меньшем количестве породы, по-видимому, близкие к лавобрекчиям и туфам. Их диагностика затруднена из-за значительных вторичных изменений и появления граничащих с ними вулканогенно-осадочных пород возможно синхронных по образованию.

Среди этих пород предварительно можно выделить лавобрекции основного состава, витрокристаллические туфы, пемзовые брекчии (?) и эдафогенные брекчии.

Химичес

Компоненты	2267-2	227I	I6I2/5	I6I2/Ia	I6I8	I62I/I	I625/I	I
	I	2	3	4	5	6	7	
I. SiO ₂	47,27	47,69	49,96	48,62	48,68	49,42	64,00	65,00
II. TiO ₂	2,05	1,73	1,40	1,99	2,04	1,78	1,02	0,02
III. Al ₂ O ₃	17,40	17,85	17,51	18,38	16,65	17,96	14,85	11,85
IV. Fe ₂ O ₃	4,04	3,14	6,59	6,80	6,82	7,92	1,42	0,02
V. FeO	4,14	4,03	2,45	2,15	2,77	0,97	4,06	4,06
VI. MnO	0,21	0,17	0,11	0,11	0,14	0,12	0,09	0,09
VII. MgO	3,52	5,90	5,75	3,64	4,64	3,26	1,68	0,02
VIII. CaO	12,99	12,74	10,02	10,32	10,76	10,25	3,21	1,11
IX. Na ₂ O	3,38	3,21	3,24	3,03	2,89	3,32	2,98	2,98
X. K ₂ O	1,73	1,67	1,49	1,64	0,94	0,98	3,56	4,02
XI. п.п.п.	2,84	1,94	2,98	3,01	3,27	2,64	3,31	3,31
XII. Сумма	99,57	100,07	99,50	99,69	99,60	99,55	100,18	99,95

Примечание: I-7 - полигон I6-Д; I, 6 - плагиобазальт
 8 - Полигон I8-Г; 8 - трахидацит, 9-II -
 I3, I5 - плагиобазальты, I6 - трахидацит

Химический состав пород (% массы)

I6I2/5	I6I2/Ia	I6I8	I62I/I	I625/I	2296	2297-I	2297-2	I869/4	2308
3	4	5	6	7	8	9	10	II	12
49,96	48,62	48,68	49,42	64,00	65,08	69,89	73,71	72,10	46,4
I,40	I,99	2,04	I,78	I,02	0,14	0,07	0,06	0,22	I,8
I7,51	I8,38	I6,65	I7,96	I4,85	II,61	I2,53	I3,88	I2,33	I7,7
6,59	6,80	6,82	7,92	I,42	0,50	I,89	0,49	0,58	7,1
2,45	2,15	2,77	0,97	4,06	2,38	0,63	I,00	I,31	I,80
0,II	0,II	0,I4	0,I2	0,09	0,I3	0,03	0,05	0,06	0,I4
5,75	3,64	4,64	3,26	I,68	0,36	0,19	0,01	0,50	4:50
I0,02	I0,32	I0,76	I0,25	3,2I	I,28	0,65	0,77	0,01	I3,48
3,24	3,03	2,89	3,32	2,98	3,79	4,I6	4,99	3,56	3,10
I,49	I,64	0,94	0,98	3,56	4,55	4,77	4,56	4,48	I,18
2,98	3,0I	3,27	2,64	3,3I	9,92	5,09	0,44	3,64	2,38
99,50	99,69	99,60	99,55	I00,18	99,74	99,90	99,96	99,79	99,80

- полигон I6-Д; I, 6 - плагиобазальты, 2, 5 - пироксеновые базалиты; Полигон I8-Г; 8 - трахидацит, 9-II - трахиллипараты; I2-I5 - полигон I5 - плагиобазальты, I6 - трахидацит; I7-I8 - полигон I6-В; I7 - доломиты.

Таблица 4. I

тав пород (% массы)

97-I	2297-2	1869/4	2308	7734/I	2099/I	1679/I	1676/3	2328-I	2325
9	I0	II	I2	I3	I4	I5	I6	I7	I8
9,89	73,7I	72,I0	46,42	49,I8	47,70	50,32	66,I0	48,86	75,96
0,07	0,06	0,22	I,86	I,79	I,60	2,4I	0,14	I,92	0,16
2,53	I3,88	I2,33	I7,78	I9,05	I6,58	I5,35	I3,27	I5,80	I2,96
I,89	0,49	0,58	7,I6	6,50	3,9I	5,50	I,09	5,89	0,75
0,63	I,00	I,3I	I,80	2,63	6,2I	7,8I	I,29	4,I6	0,92
0,03	0,05	0,06	0,I4	0,II	0,22	0,20	0,I6	0,I8	0,02
0,19	0,0I	0,50	4:50	3,59	7,94	4,I0	0,59	3,73	-
0,65	0,77	0,0I	I3,48	I0,76	8,72	8,07	I,77	I3,04	0,I2
I,16	4,99	3,56	3,I0	3,00	3,I9	3,35	4,52	3,I3	3,96
,77	4,56	4,48	I,I8	I,80	I,I5	I,29	4,4I	I,55	4,66
,09	0,44	3,64	2,38	2,69	I,55	I,39	5,69	2,25	0,45
,90	99,96	99,79	99,80	I00,I0	99,77	99,79	99,53	I00,5I	99,96

, 5 - пироксеновые базальты, 3-4 - пироксен-оливиновые базальты; илариты; I2-I5 - полигон 27; I2, I4 - оливиновые базальты,

- полигон I6-B; I7 - долерито-базальт, I8 - гранит.

4.1.2. Лавобрекции основного состава имеют неоднородное строение основной массы за счет обломков измененных пород и стекла. Породы содержат относительно крупные фенокристаллы плагиоклазов и клинопироксенов, последние трещиноваты, по трещинам развиты минералы группы смектитов. Основная масса представляет микропузистое палагонитизированное стекло с микролитами плагиоклазов и зернами клинопироксенов. Миндалины заполнены палагонитом с оторочками глауконита. Глауконит развит также по микротрецинам основной массы.

4.1.3. Витрокристаллокластические туфы основного состава.

Эти породы подняты в небольшом количестве на ст. 2257 совместно с лавобрекциями. Их отличает стекловатый облик и интенсивная глауконитизация (не исключено, что это первично стекловатая лава). При большом увеличении под микроскопом различаются разновеликие микролиты плагиоклазов. Кроме интенсивной глауконитизации отмечается гнезда гидроокислов железа.

4.1.4. Пемзовые туфобрекции. Породы имеют брекчиевидную текстуру. Обломочный материал представлен неокатанными фрагментами базальтов и пемзой с флюидально-очковой текстурой. Пемза мелкие оскольчатые кристаллы плагиоклазов, отмечено кристаллическое проникновение в пемзу глауконита. Связующая масса представляет собой пелитовый туффит с мельчайшими частицами кварца, плагиоклазов, реже измененных пироксенов.

4.1.5. Эдафогенные брекции (туфобрекции). По размеру кластического материала эти породы иногда переходят в агломераты (размер обломков может достигать 3-4 см). Обломки представлены мелкоочковыми базальтами; миндалины чаще пустые, или заполнены палагонитизированным стеклом с цеолитами. Основная масса также частично глауконитизирована. Связующая масса этих пород - глауконитизиро-

занный туфдиатомит с заключенными в нем кристаллами плагиоклазов и незначительным количеством цеолитов. Иногда цементирующая масса представлена черным непрозрачным пелитовым веществом пропитанным гидроокислами железа.

Для всей группы брекчиевидных пород этого участка характерна интенсивная глауконитизация.

4.1.6. Глауконит-силицитовые породы. Они представляют особую и довольно широко распространенную разновидность вторично-измененных пород. По-видимому, они образовались по вулканическим стекловатым породам основного состава, подвергшимся интенсивной глауконитизации с последующим наложением гидротермальных процессов.

Эти породы зеленого цвета, очень плотные, приобретающие при выветривании брекчиевидную текстуру. Они состоят из зон неправильной формы глауконитизации, часто обогащенных железистыми черными минералами. Промежутки между ними выполнены силицитом (халцедон ?), создающим реакционно-псевдобрекчевую структуру.

4.1.7. Неогеновые отложения. Обычно это слаболитифицированные желтовато- или зеленовато-серые породы органогенно-терригенного состава. Среди них выделяются глинистые диатомиты, состоящие из обломков и целых панцирей диатомей (до 50%) и радиолярий, заключенных в желтовато-бурое глинистое вещество (монтмориллонит и шарослюды) с примесью тонкоалевритовых частиц кварца, полевых шпатов. В них также иногда присутствуют розетковидные выделения монтмориллонита.

В составе толщи отмечается также разновидность глинистых пород с незначительным содержанием диатомей, встречающихся совместно с панцирями радиолярий и спикул губок в виде редко рассеянной примеси (до 10%) в глинистом веществе.

Для определения возраста описываемой толщи И.Б.Цой изучались

остатки кремнистых микроископаемых (диатомеи и силикофлагелляты). Наибольший интерес в этом отношении представляет глинистый диатомит (образец 2267-6), в котором отмечена начальная стадия фосфатизации, что обусловило достаточную сохранность диатомового комплекса. Из этого образца выделен довольно разнообразный комплекс кремнистых микроископаемых. Определено 19 видов ископаемых диатомовых водорослей, 3 вида силикофлагеллят, I - эбриидея, отмечены спикулы губок, а также единичные споро-пыльцевые зерна.

Диатомовый комплекс характеризуется высокой численностью широко-распространенных видов *Coscinodiscus marginatus* Ehr., *Actinocyclus undulatus* (Bail.) Ralfs, *Thalassionema nitschiioides* Grun., а также *Actinocyclus ingens* Rattray и *Goniothecium tenue* Brun. Более половины систематического состава комплекса представлено вымершими видами, характерными для миоценовых отложений Японии, Сахалина, Камчатки и Калифорнии. Это уже упоминавшиеся *Actinocyclus ingens* Rattray, *Goniothecium tenue* Brun., а также *Denticulopsis hustedtii* (Sim. et Kan.) Sim., *Pseudopyxilla americana* (Ehr.) Porti, *Chaetoceros capreolus* Ehr., *Pterotheca subulata* Grun., *Rhizosolenia barboi* Brun., *Cosmiodiscus intersectus* Jousè. Для последних вида известны и в плиоценовых отложениях. Найдка основного вида *Denticulopsis hustedtii* (Sim. et Kan.) Sim. и особенности комплекса в целом позволяют сопоставить данный комплекс диатомей с зоной *Denticulopsis hustedtii*, установленной Шандзуми (2) в позднем миоцене.

Наиболее разнообразный комплекс кремнистых микроорганизмов обнаружен также в образце 2259-4. Здесь определено 34 вида диатом, 3 вида силикофлагеллят, I - перидинея, I - эбриидея, отмечены спикулы губок и многочисленные радиолярии. Здесь же отмечено высокое содержание споро-пыльцевых зерен.

В диатомовом комплексе доминируют, как и в предыдущем об разце, виды широкого возрастного диапазона - *Coscinodiscus marginatus* Ehr., *Thalassionema nitschioides* Grun. Эти виды имеют распространение и в современном планктоне. Более половины комплекса составлено вымершими видами, характерными преимущественно для миоцена. Это *Actinocyclus ingens* Rattray, *Chaetoceros capreolus* Ehr., *Cladogramma californicum* Ehr., *Coscinodiscus temporei* Brun, *Goniothecium tenue* Brun, *Nitzschia fossils* (Freng.) Kanaya, *Pseudopyxilla americana* (Ehr.) Forti, *Pterotheca subulata* Grun., *Stephanogonia hanzawai* Kanaya, *Rouxia californica* Peragallo, *Thalassionema hirosakiensis* (Kanaya) Schrader, *Denticulopsis dimorpha* (Schrader) Simonsen. Для ряда диатомовых этой группы установлены опорные уровни (datum levels) своррелированные с данными палеомагнитной стратиграфии (3) и радиометрии (2, 3). Так *Rhizosolenia barboi* Brun и *Coscinodiscus temporei* Brun появляются в верхах среднего миоцена, а *Nitzschia fossilis* (Freng.) Kanaya и *Denticulopsis dimorpha* (Schrader) Simonsen - в начале позднего миоцена. На границе миоцена и плиоцене исчезают *Coscinodiscus temporei* Brun, *Rouxia californica* Peragallo, *Goniothecium tenue* Brun, *Thalassionema hirosakiensis* (Kanaya) Schrader. Таким образом, время распространения большинства вымерших диатомей данного комплекса ограничено поздним миоценом. В целом, комплекс хорошо сопоставляется с зоной *Denticulopsis hustedtii*, хотя зональный вид и не отмечен. Найдки *Denticulopsis dimorpha* (Kanaya) Schrader, имеющего самое узкое стратиграфическое распространение, позволяет проводить корреляцию с нижней частью зоны *Denticulopsis hustedtii* и возраст комплекса предположительно датировать поздним миоценом.

Вывод о позднемиоценовом характере диатомовых комплексов из образцов 2259-4 и 2267-6 подтверждается находками в этих образцах силикофлагеллят *Mesocena hexagona* Haekel и *M.circulus* Ehr. Эти виды известны преимущественно в позднемиоценовом интервале ряда тихоокеанских скважин глубоководного бурения (5, 6, 7), а также в отложениях этого возраста в Калифорнии (8, 9).

Условия осадконакопления. В обоих комплексах доминирует океанический стеногалинный вид *Coscinodiscus marginatus* Ehr., но остальная часть комплекса составлена видами характерными для меритической (надшельфовой) зоны моря. Поэтому, скорее всего захоронение этих комплексов происходило в мористой части шельфа. Об этом свидетельствуют и находки радиолярий, являющиеся преимущественно стеногалинными видами. Отмеченные спикулы губок и общее разнообразие кремнистых микроископаемых предполагают активный гидродинамический режим, необходимый для их развития.

Необходимо отметить сходство вышеописанных комплексов и принадлежность их к одному стратиграфическому интервалу. Диатомовый комплекс образца 2267-6 обеднен по сравнению с другими образцами

Редкие диатомеи обнаружены в образце 2270-4 (туфобрекчия). Они представлены видом *Coscinodiscus marginatus* Ehr., имеющим узкий возрастной диапазон.

Единичные створки диатомей плохой сохранности обнаружены в флюфорите станции 2266, использовать которые для определения возраста пород не представляется возможным.

Данные о геологическом строении, петрографическом составе пород и их возрасте позволяют предположить последовательность геологических процессов на изученном участке.

I. Подводные излияния базальтоидов в позднепалеогеновое — раннемиоценовое время (31,6 млн. лет, радиоизотопное определение возраста калий-argonовым методом).

2. Глауконитизация базальтоидов, наименее интенсивная по стекловатым породам, лавобрекчиям и туфам основного состава.

3. Гидротермальное воздействие на интенсивно глауконитизированные породы с образованием силицитов, развивающихся вдоль трещин.

4. Разрушение вулканических пород с образованием эдафогенного обломочного материала цементируемого неогеновыми осадками.

5. Отложение терригенно-органогенных неогеновых осадков и их последующая избирательная фосфатизация.

4.2. Полигон I6-B. Охватывает небольшую возвышенность вытянутую в меридиональной направлении, с восточного и южного склонов которой были подняты обломки горных пород на пяти станциях драгирования выполненных в интервале глубин 1500-1150 м.

Они представлены гранитами и долерито-базальтами.

4.2.1. Граниты серые, розовато-серые средне- и мелкокристаллические биотитовые и биотит-роговообманковые породы, отдельные их образцы катализированы и разгнейсованы.

Биотит-роговообманковые граниты с гранитной структурой сложены удлиненно-таблитчатыми зернами андезина (до 60%), кварцем в виде округлых зерен (до 20%) и темноцветными (до 20%), выполняющими полосы состоящие из агрегатов удлиненных зерен хлоритизированной роговой обманки и биотита. По плагиоклазу развивается эпидот замещающий до 10% площади зерен.

Катализированные граниты обладают катастической структурой обусловленной наличием зон катализа сложенных мелкоагрегатным цем, мусковитом, полевым шпатом, к которым приурочены вытянутые чешуйки хлоритизированного биотита. Площадь катализированных участков до 20%. Остальные участки сложены плагиоклазом (олигом), зерна которого интенсивно замещаются мусковитом. Наряду с плагиоклазом встречается калиевый полевой шпат (до 20%) и кварц

(до 35%), зерна которого слагают линзовидные и округлые участки породы.

Аналогичные граниты по данным предыдущих геологических исследований широко развиты к северу и югу от описанного полигона, слагая крупный протяженный (до 100 км) массив на восточном склоне Восточно-Корейской возвышенности.

4.2.2. Долерито-базальты состоят из листов плагиоклазов (50-60% ^и) различной крупности, резорбированных по краям. Часть из них отличается более крупными размерами, что придает породе порфировый облик. Промежутки между листами выполнены плагиогранитом со значительной примесью кристаллов магнетита. Встречаются редкие незаполненные пустотки. Наличие изолированных участков измененного стекла определяет толеитовую структуру породы.

4.3. На Восточно-Корейской возвышенности кроме работ выполненных на вышеописанных полигонах (I6-Д, I6-В) было проведено драворование вне полигонов на трех станциях расположенных в 10 милях к югу от полигона I6-Д. Их положение показано на рис. I.I.

Здесь ранее был разбит полигон I6-А, исследования на котором проведены в 25 рейсе нис "Первенец" (1976 г.).

В настоящем рейсе на двух из трех станций (2332, 2334) были получены остроугольные глыбы и обломки терригенных пород: конгломератов, песчаников, алевролитов серого и буровато-серого цвета, а также фосфориты, которые будут описаны в главе „полезные ископаемые“.

4.3.1. Конгломераты сложены галькой и полуокатанными обломками эпизоидов, в редких случаях перекристаллизованных кислых эфузивов. Галька располагается в крупнозернистом песчанике, состав которого: кварц, калишпат, плагиоклаз, обломки пород, мусковит, биотит. Цемент железистый, выполнения пор составляет 3-5% объема.

4.3.2. Песчаники крупнозернистые и среднезернистые, с примесью псевфитовых обломков. Структура псевдо-псаммитовая, размер обломков от 0,1 мм до 3 мм. Состав: кварц, калишпат, плагиоклаз, мусковит и обломки пород, представленные гранитоидами, единичные обломки перекристаллизованных кислых эфузивов. Форма обломков угловатая. Цемент железистый, выполнения пор (1-2% объема породы). Встречаются образцы среднезернистого песчаника с полевошат-кварцевым аутигенным цементом регенерации и серицитовым — пленочным.

4.3.3. Алевролиты состоят из обломков размером 0,01-0,1 мм, с примесью псаммитового материала (до 0,2 мм), единичные обломки до 0,5 мм. Форма обломков угловатая, оскольчатая. Состав: кварц, плагиоклаз, калишпат, мусковит. Цемент железистый, базальный, около 30-40% объема породы.

Описанные терригенные породы слагают толщу пород изученных ранее (10), которая аналогична отложениям нижней части серии Схёнам Корейского полуострова, отнесенной к верхнепалеозойскому-нижнемезозайскому возрасту (11). Она также склонна с девонскими отложениями Приморья.

4.4. Полигон I8-Г. В пределах этого полигона были подняты породы на 8 станциях с северо-западного и юго-восточного склонов в интервале глубин 1650-1250 метров, которые представлены вулканитами кислого состава: трахидациты, липариты и их туфы.

4.4.1. Трахидацит-порфиры (ст. 2296, 2302) состоят из выделений плагиоклазов в виде округло-таблитчатых зерен интенсивно пелитизированных и серицитизированных размером до 2 мм в количестве 10-40% и основной массы кварц-полевошпатового состава интенсивно перекристаллизованной с микрогранобластовой структурой. Встречаются агрегаты вторичных зерен кварца размером до 0,3 мм.

4.4.2. Липариты (ст. 2296, 2297) сложены перекристаллизованной массой, представляющей собой кварц-полевошпатовый агрегат с пойкилобластовой, участками аксиалитовой структурой. Отмечаются округлые выделения вторичного кварца.

4.4.3. Туфы кислого состава (ст. 2296) также интенсивно перекристаллизованная порода, состоящая из чередования тонких слоев различной степени раскристаллизации. Наблюдаются слойки мощностью 0,3–0,6 мм, сложенные слабо раскристаллизованным стеклом с микросферолитовой структурой (размер сферолитов 0,07–0,8 мм) и прослои кварц-полевошпатового микрозернистого агрегата с гранобластовой структурой.

Интенсивная степень перекристаллизации вышеописанных пород затрудняет определение их первичного состава.

Вторичные изменения оказывают влияние на химический состав пород, прежде всего на высокие потери при прокаливании, связанные обычно с появлением вторичных минералов содержащих свободную воду (табл. 4.1.).

По химическому составу они относятся к щелочной серии Куно (1), что наряду с геологическим положением вышеописанных пород дает основание считать их составной частью комплекса щелочных вулканитов трахиандезитовой серии позднепалеоген-раннемиоценового возраста (12).

4.5. Полигон 27 охватывает возвышенность Гебасс, представляющую собой подводный вулканический хребет субмеридионального направления. В средней части этого хребта на его западном и восточном склонах было проведено драгирование на 16 станциях, из которых в 13 подняты образцы горных пород, характеризующие участок склона от его подножья (3400 м) до вершины возвышенности (1600 м). Расстояние между станциями драгирования по склону составляет 200–350 м.

Возвышенность сложена вулканитами, неогеновыми осадочными породами и докайнозойскими образованиями, встречающимися, вероятно, в виде ксенолитов.

4.5.1. Среди вулканогенных пород преобладают базальты поднятые в виде обломков, представляющих сегменты шаровых лав с зональным строением, внешние зоны которых мощностью 2-3 см представлены стекловатой массой, а центральные их части более раскристаллизованы материалом. Это породы с миндалекаменной текстурой иногда с порфировой структурой с интерсертальной гиалопилитовой основной массой. Фенокристаллы представлены оплавленным и кородированным основным плагиоклазом, а в пироксен-плагиоклазовых разностях паряду с плагиоклазом наблюдается клинопироксен, иногда ~~с~~ совместно с моноклинным пироксеном (диопсидом). *(Зачеркнутое чисто)*

4.5.2. Кроме базальтов в подчиненном количестве на полигоне развиты агломератовые туфы и туфобрекции основного состава. Обломочная часть их представлена неправильной формы фрагментами пористых и стекловатых базальтов, стекла размером от 2 см до долей см. Связующая масса - желтовато-бурый тонкоагрегатный палагонит с тончайшими иголочками плагиоклазов, характерны трещины усыхания. Присутствует небольшое количество цеолитов (ст. 2309).

4.5.3. На других станциях (2318) подняты лавобрекции базальтов интенсивно измененные. Обломочки пористых базальтов (до 1-2 см) заключены в интенсивно пузыристого строения основную массу различно раскристаллизованного палагонита с редкими микролитами плагиоклазов. Вся порода пронизана причудливой формы трещинами выполнены, по-видимому, халцедоном. Миндалины заполнены палагонитизированным стеклом с развитием по стенкам силицитового минерала.

По химическому составу вышеописанные вулканиты также, как вулканиты поднятые с этой возвышенности в предыдущих рейсах

(табл. 4.1) относятся к щелочной серии Х.Куно (1). По геологическому положению, набору пород, их петрографическому, химическому составу и данным радиоизотопного анализа (22,0; 10,0 млн. лет, калий-argonовый метод), вулканиты Гебасса относятся к трахибазальтовой серии миоцен-плиоценового возраста, характерной для глубоководных котловин дна Японского моря (13).

4.5.4. Неогеновые отложения встречены на II станциях драгирования совместно с базальтами и другими породами. При этом они подняты как с основания склона возвышенности с глубины 3400–3000 м (ст. 2308, 23II, 23I3, 23I4), так и с её верхней части с глубины 2200–1800 м (ст. 23I0, 23I7, 23I8). Обычно это слаболитифицированные мягкие породы желтовато-серого цвета с зеленоватым оттенком. Среди них выделяются туфогравелиты, пепловые туфы, туфогенная глина и туффиты с диатомитами.

4.5.5. Пепловый туф состоит из мелких осколков стекла, обломков кварца, плагиоклаза, кислого эфузива размером 0,1–0,2 мм расположенных в пелитовом глинистом материале.

4.5.6. Туфогенная глина сложена обломками кварца, плагиоклаза, малишпата и гранита размером 0,1–0,3, реже до 0,5 мм в количестве 5–10% в основной массе представленной зеленоватым глинистым веществом с единичными чешуйками гидрослюды.

4.5.7. Туффиты с диатомитами – смешанная порода, в которой преобладает тонкая пелитовая масса (70–80%) содержащая мелкие осколки стекла, зерна кварца, глауконит панцыри диатомей (до 20%), радиолярий и спикулы губок.

4.5.8. В гравелитах и конгломератах основная масса сложена неописанными туффитами или туфогенной глиной, а в различной степени окатанные гальки представлены базальтами подстилающими неогеновые отложения.

Данные диатомового анализа позволили определить время формирования этой толщи. Редкие диатомы обнаружены в образце 2308-3. Они представлены видом *Coscinodiscus marginatus* Ehr., имеющим широкий возрастной диапазон. Остальные отмеченные виды диатомей характерны преимущественно для плиоценовых (*Thalassiosara zabelinae* Jousè, *T. antiqua* (Grun.) Cl.) или более молодых отложений (*Bacterosira fragilis* Gran, *Actinocyclus curvata*¹⁵ Janisch, *Thalassiosira excentrica* (Ehr.) Cl.).

В образце 2308-4 (алевропелит) также обнаружен бедный комплекс диатомей. Здесь наряду с видами широкого диапазона *Coscinodiscus marginatus* Ehr., *Actinopeltichus undulatus* (Bail.) Ralfs., *Paralia sulcata* (Ehr.) Kütz. отмечены виды известные в довольно узком стратиграфическом интервале, а именно, в плиоцене: *Cosmiodiscus intersecans* Jousè, *Coscinodiscus pustulatus* Mann, *Thalassiosira zabelinae* Jousè, *T. cf. tertioria* Sheshuk.

Бедность систематического состава диатомовых комплексов, представление видов широкого возрастного диапазона из образцов 2308-3, 2308-4 затрудняет использование этих данных для достоверного определения возраста. Присутствие группы видов характерных для плиоценовых и более молодых осадков позволяет предположить, что формирование этого комплекса произошло, вероятно, не ранее плиоцена.

В низах миоценовой толщи залегают слои базальных конгломератов, скатанная галька которых представлена нижележащими базальными. Степень их скованности указывает на их обработку в прибрежных водах, а наличие этих галек может свидетельствовать о том, что в миоценовое время этот вулканический хребет возвышался над уровнем моря в виде острова, а затем опустился более чем на 1600 м ниже уровня.

Породы докайнозойского фундамента. На ряде станций драгированием с базальтоидами были подняты единичные мелкие (7x5 см)

остроугольные обломки фельзит-порфиров, туфов кислого состава (ст. 23II и 23I5), песчаников (23I3), алевролитов (23I8) и гранитов (23I8).

Эти обломки, вероятно, представляют собой ксенолиты пород докайнозойского возраста, слагающие фундамент подводной возвышенности, на котором в кайнозойское время сформировалась вулканическая постройка хребта Гебасс.

4.5.9. Фельзит-порфиры имеют порфировую структуру. Фенокристаллы представлены пелитизированными плагиоклазами призматической формы с полисинтетическими альбитовыми двойниками (состав альбит-олигоклаз). Основная масса — микрофельзитовая с элементами сферолитовой структуры.

4.5.10. Туфы кислого состава окварцованные имеют псевдослоистую (полосчатую) текстуру. Полосы состоят из разной степени раскристаллизации (и крупности зерна) кварц-полевошпатовой массы с тонкими параллельными зонами вторичного кварца. Мелкие трещины, пересекающие почти под прямым углом полосчатость заполнены мелкокристаллическим кварцем. Основная масса насыщена очень мелкой будной пылью.

4.5.11. Песчаник среднезернистый, серого цвета, состоящий из угловатых обломков кварца, калиевого полевого шпата, плагиоклаза, биотита, мусковита, реже встречаются обломки гранитов и кислых эфузивов. Цемент кварц-полевошпатовый серицитизированный регенерационного типа.

4.5.12. Алевролит сложен мелкими до 0,05 мм угловатыми обломками кварца, полевых шпатов, мусковита, карбоната, апатита цементированных серицитизированным и карбонатизированным пелитовым материалом. Состав обломочного материала песчаников может указывать на их формирование за счет размыва гранитоидов, а угловатая форма обломков и характер их сортировки свидетельствует о

незначительной транспортировке этого материала.

4.5.13. Граниты - розовато-серые, среднезернистые с гранитной структурой сложенные плагиоклазом (олигоклазом) иногда зональным, калиевым полевым шпатом (до 60%), кварцем (до 20%) и биотитом (до 5%). Эти граниты по составу аналогичны гранитам поднятым к югу от вышеописанных (ст. 7732), время формирования которых по данным радиоизотопного анализа (калий-argonовый метод) соответствует раннему мелу (110,5 млн. лет). Кроме того, они сходны с раннемеловыми гранитами, слагающими крупный (свыше 2000 км²) массив в северной части возвышенности Криштофовича.

Все эти интрузивные породы (раннемелового комплекса) по геологическому положению, составу и условиям образования могут быть отнесены к малоглубинным образованиям плутонической гранодиорит-гранитной формации.

5. Четвертичные отложения

Эти отложения изучались по общепринятой методике описанной во второй главе отчета в пределах Восточно-Корейской возвышенности Японского моря.

Отбор рыхлых осадков на вершинах и крутых склонах подводных возвышенностей в пределах полигонов I6-В и I6-Д (рис. I.I) дночерпательями (16 станций) и драгами (6 станций, попутно при драгировании коренных пород), а в пологих склонах и котловинах - прямоточными трубками (9 станций) по профилю проходящему от полигона I6-В до возвышенности Криштофовича (рис. 5.I). Расстояние между станциями в пределах профиля колеблется от 8 до 20 км в зависимости от характера рельефа.



Рис. 5.1

Схема отбора проб четвертичных отложений

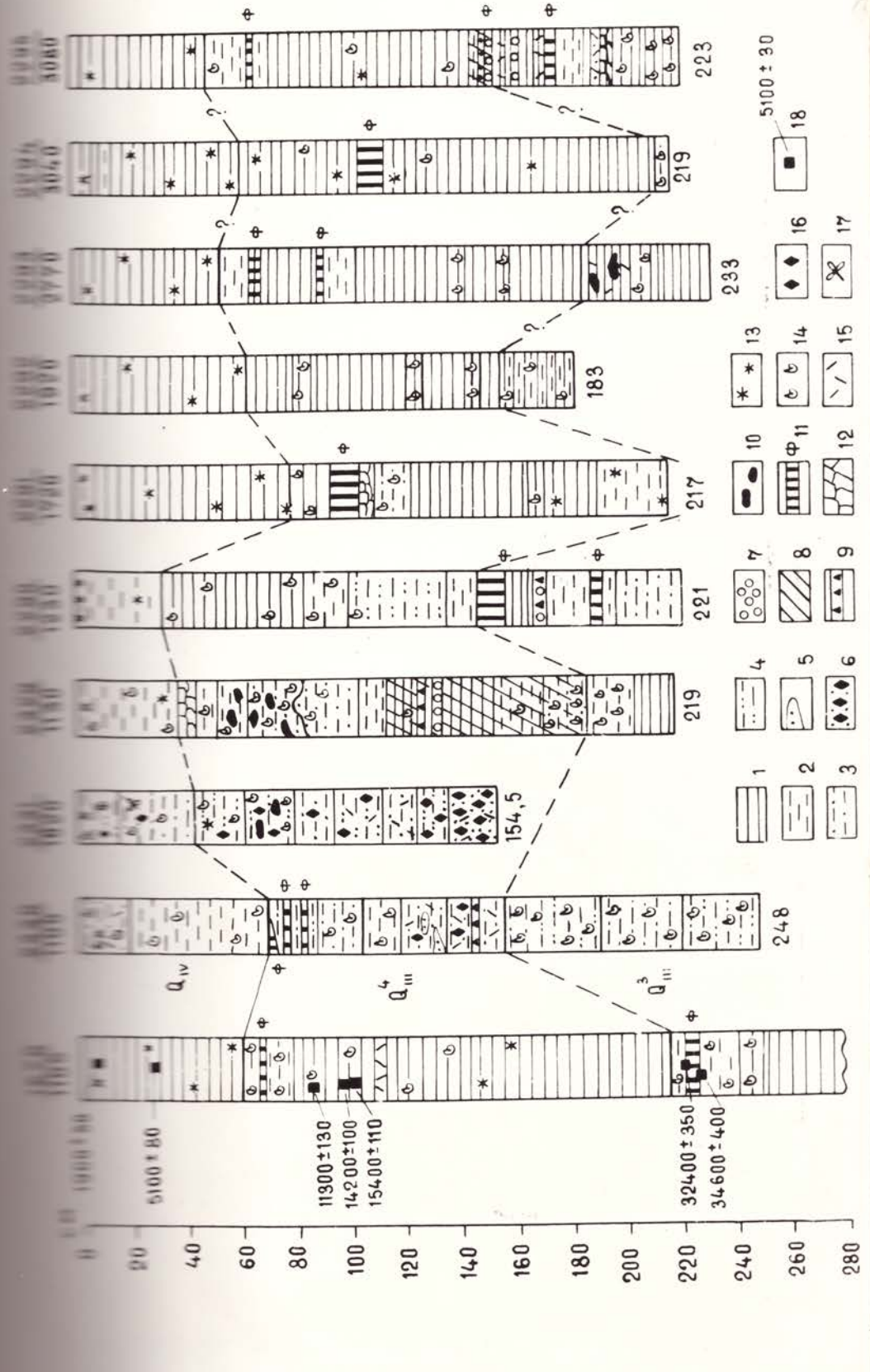


Рис. 5.2. Схема корреляции четвертичных отложений

1 - ил пелитовый, 2 - ил алевритово-пелитовый, 3 - ил алевритово-пелитовый, 4 - алеврит крупный, 5 - песок (в виде прослоев), 6 - песок глауконитовый, 7 - гравий, 8 - песок глауконитовый горизонт, 9 - турбидит, 10 - обломки щитовых илов (в виде включений), 11 - фораминиферовый горизонт, 12 - осадок перемытый, оползний, 13 - кремнистость осадка, 14 - кремнистость осадка в осадке, 15 - присутствие пелитового материала в осадке, 16 - присутствие глауконита в осадке, 17 - присутствие органических остатков, 18 - точка с данными абсолютного возраста по C^{14} .

Над разрезом: в числителе - номер станции, в знаменателе - глубина до дна в метрах, под разрезом - длина керна в сантиметрах.

Изучение отложений склона и подножья Восточно-Корейской возвышенности и сопоставление их с уже продатированными (по C^{14}) четвертичными отложениями подводной возвышенности Ямато на ст. I670 приведенных в отчете И.И.Берсенева (I4) позволило расчленить описываемые осадки на голоценовые и верхнеплейстоценовые (каргинский и сартанский горизонты) и выполнить корреляцию разрезов различных морфологических элементов возвышенности (вершины склона и подножья). Следует отметить, что корреляция разрезов оказалась возможной благодаря наличию в них маркирующих фораминиферовых горизонтов и присутствия характерных признаков в осадках для каждого этапа седиментации. Ниже приведено описание отложений по разделам от более древних к более молодым.

5.1. Верхнеплейстоценовые отложения (Q_{III}). Эти отложения на Восточно-Корейской возвышенности вскрыты всеми прямоточными трубками только в своей верхней части и представлены каргинским и сартанским горизонтами. Граница между голоценом и верхним плеистоценом нами проводится на уровне 10300 лет (I5), а между каргинским и сартанским горизонтами - около 22000 лет (I6).

5.1.1. Каргинский горизонт (Q_{III}^3). Отложения каргинского горизонта установлены на самой вершине Восточно-Корейской возвышенности (ст. 2329, 2330 и 2290), на её склоне (ст. 2292 и 2293) и у её подножья (ст. 2294 и 2295 рис. 5.1.). Здесь вскрыта, по-видимому, только верхняя часть горизонта (рис. 5.2), который на вершине представлен известковым крупным алевритом и мелко-алевритовым илом (ст. 2330), алевритово-пелитовым слабо известковистым илом (ст. 2329) и пелитовым, алевротово-пелитовым и мелко-алевритовым терригенным илом с двумя фораминиферовыми прослойками (ст. 2290). Далее по профилю, на восточной части склона Восточно-Корейской возвышенности, развиты алевритово-пелитовые слабо

известковистые и терригенные илы (ст. 2292) и пелитовые терригенные илы с редкими прослойками пеплового материала (ст. 2293), а внизу, у подножья возвышенности, распространены пелитовые и алевритово-пелитовые илы (ст. 2294 и 2295), насыщенные вулканогенным материалом (вулканическим стеклом, пепловыми прослойками и прослойками вулканомиктового песка) и редкими прослойками фораминифер; на отдельных участках осадки перемяты, со следами оползания.

Таким образом, уже на вершине возвышенности наблюдается фациальное изменение состава осадков. Так в её западной (внутренней) части развиты биогенные фораминиферовые известковые алевриты, почти нацело состоящие из фораминифер и их обломков; в восточной (присклоновой) части вершины они замещаются слабо известковистыми илами, содержащими 18–20% карбонатного материала, а еще восточнее в верхней части склона у вершины отложения представлены терригенными илами, в которых карбонатный материал слагает только фораминиферовые прослойки. На склоне, и особенно у подножья возвышенности, мы уже наблюдаем два типа осадков. Накопление их видимо происходило двумя путями: а) поступлением с материка тонкой пелитовой и мелкоалевритовой терригенной взвеси, транспортируемой течениями; б) периодическим выносом эдафогенного и биогенного материала с верхней части склона и вершины (оползание и перемятые слои осадков и фораминиферовые и вулканомиктовые псаммитовые прослойки).

Проводя корреляцию разрезов описываемого горизонта (рис. 5.2.) и сопоставляя их с уже продатированными отложениями возвышенности Янто (ст. 1670) следует отметить, что наиболее сопоставимыми являются отложения самого склона и подножья Восточно-Корейской возвышенности. Вероятно условия седиментации в это время в этих регионах Японского моря были близкими.

Если описываемая часть каргинского горизонта представляет собой его вторую (верхнюю) половину, тогда накопление этих осадков на Восточно-Корейской возвышенности происходило сначала (34600–32400 лет назад) в условиях некоторого похолодания (конощельского) и понижения уровня Японского моря до 60–75 метровой изобаты. В это время проливы Японского моря (Корейский и Сангарский) значительно обмелели, а пролив Лаперуза полностью закрылся, и, по-видимому, циркуляция вод в Японском море была нарушена. Усилился вынос терригенного материала с суши, накопление которого нами и отмечено в этом горизонте (частично на склоне и у подножья возвышенности), а на вершине возвышенности формировались биогенные карбонатные осадки. Затем около 30000 лет назад последовало потепление (липовско-новосёловское) по Н.В.Кинд (16) и уровень моря приблизился к современному, условия седиментации были близкими к настоящему времени.

5.1.2. Сартанский горизонт (Q_III^4). Отложения этого горизонта по линии профиля (рис. 5.1.) установлены на всех станциях (2329–2331, 2290–2295) и вскрыты на полную мощность. Максимальной своей мощности (150 см) горизонт достигает у подножья Восточно-Корейской возвышенности (ст. 2294, см. рис. 5.2.), минимальной (86 см) – на вершине возвышенности (ст. 2330); на склоне мощность его колеблется от 92 см (в средней части склона, ст. 2292) до 130 см в его нижней части, ст. 2293). Если считать, что условия седimentации в это время (в интервале от 22000 лет назад до 10300 лет назад) были одинаковыми, то максимальная скорость седimentации у подножья возвышенности составила II, I см за 1000 лет, а минимальная на вершине возвышенности – 7,9 см за 1000 лет. По составу и генезису отложений горизонта на различных морфологических элементах возвышенности неодинаковы. На её вершине (строго говоря это еще не самая высокая отметка вершины, а привершинная

часть возвышенности^{x)}, см. рис. 5.1) на ст. 2331 в основании разреза залегают аутигенные глауконитовые пески, выше по разрезу они переходят в глауконитовые крупные алевриты, а еще выше сменяются эдафогенными крупными алевритами и мелкоалевритовыми илами, в которых аутигенный глауконит уже не превышает 15% и преобладает материал разрушенных коренных пород, в верхней же части разреза глауконита в осадке еще меньше (до 2%). Здесь наряду с эдафогенным материалом в значительном количестве (до 32%) присутствует биогенный карбонатный материал (фораминиферы и их обломки). На более низких отметках вершины (несколько западнее) на ст. 2330 в верхней части горизонта присутствуют характерные маркирующие фораминиферовые прослои ("фораминиферовый горизонт"), которые сопоставляются с фораминиферовыми прослойями ст. 1670 возв. Ямато (см. рис. 5.2). На склоне расчлененной вершины (ст. 2329) отложения горизонта внизу разреза представлены турбидитами с характерной градационной структурой осадков, а выше по разрезу — перемятыми, со следами оползания, очень плотными алевритово-пелитовыми и мелкоалевритовыми слабоизвестковистыми фораминиферовыми илами.

В верхней части склона Восточно-Корейской возвышенности (ст. 2290) внизу разреза залегают крупные алевриты, выше они замещаются алевритово-пелитовыми и пелитовыми илами; в средней же части склона (ст. 2291 и 2292) распространены в основном пелитовые илы с прослойками алевритово-пелитовых и мелкоалевритовых илов на ст. 2291 с фораминиферовым горизонтом. Осадки плотные и средней плотности, слабо известковистые и известковистые (за счет обломков и целых фораминифер), реже терригенные.

^{x)} Накопление осадков, видимо, здесь происходило частично за счет сползания отложений с самой высокой части вершины.

В нижней части склона и у подножья Восточно-Корейской возвышенности (ст. 2293-2295) горизонт представлен пелитовыми терригенными илами с редкими прослойками алевритово-пелитовых илов и фораминиферовых прослойков. Осадки по консистенции мягкие, реже средней плотности, карбонатный материал в них присутствует в виде тонко распыленного вещества и только в фораминиферовых прослойках - в виде обломков и целых фораминифер.

Таким образом, условия седиментации на различных морфологических элементах Восточно-Корейской возвышенности в описываемое время были неодинаковыми. В климатический минимум (18-20 тыс. лет назад), когда уровень моря был на 110-120 м ниже современного (17) и Японское море представляло почти закрытый бассейн в это время существовали значительно обмелевшие и ставшие узкими Корейский и Сангарский проливы; Цусимский пролив и пролив Лаперуза отсутствовали (18); на вершине Восточно-Корейской возвышенности седиментация была минимальной и здесь в это время формировалась аутигенные глауконитовые пески и алевриты, на склонах же расчлененной возвышенности накапливался периодически выносимый с вершины турбидитными потоками аутигенный, биогенный и эдафогенный материал. Но поскольку поставка материала с вершины была минимальной, то и распространение турбидитов было ограничено пределами расчлененной вершины и верхней частью склона Восточно-Корейской возвышенности (см. ст. 3229 и 2290 на рис. 5.2).

В средней и нижней части склона, а также у подножья возвышенности оседал терригенный материал, обильно поступающий с материка. На материке в это время происходил интенсивный врез долин и эрозия, материал (имеется ввиду в основном пелитовый) поступал в закрытый бассейн (Японское море) типа "озера". В Японском море циркуляция вод была нарушена, т.к. проливы (Татарский, Лаперуза и Цусимский) были закрыты и холодное Приморское течение в него

не поступало, а теплое Цусимское течение вероятно только частично проникало через узкий Корейский пролив. Этим, по-видимому, можно объяснить почти равномерное по составу распространение пелитового материала как на склоне возвышенности, так и у её подножья.

В последующий промежуток времени (от 1800 до 10300 лет) седиментация на Восточно-Корейской возвышенности происходила при почти непрерывном подъеме уровня Японского моря. На самой вершине в этот промежуток времени накапливались крупные алевриты, образованные за счет разрушения коренных пород и поступления биогенного фораминиферового материала, а на склоне и у подножья возвышенности происходила седиментация в основном терригенного пелитового материала, периодически нарушаемая поступлением биогенного карбонатного материала с вершины возвышенности (фораминиферовые прослои).

5.2. Голоценовые отложения (Q_{ly}). Голоценовые отложения на Восточно-Корейской возвышенности имеют широкое распространение. Они вскрыты на полную мощность прямоточными трубками на всех станциях по линии профиля (см. рис. 5.2) и выявлены дночерпательями на драгами на вершине и в верхней части возвышенности на 17 станциях и только на крутых склонах возвышенности на трех станциях (2265, 2267 и 2270) не были установлены. Минимальной мощности, от нескольких сантиметров до 45 см, они достигают на крутых участках склона и на вершине (ст. 2281, 2290 и 2329), максимальной (80 см) – на выполненных частях склона (ст. 2291); у подножья Восточно-Корейской возвышенности их мощность колеблется от 50 до 60 см. Скорость седиментации осадков на крутых частях склонов достигает 4 см за 1000 лет (ст. 2290), а на пологих частях и у подножья возвышенности – 5,8–7,8 см за 1000 лет (ст. 2291 и 2294).

На вершине возвышенности распространены слабо известковистые биогенные крупные алевриты, мелкоалевритовые илы (ст. 2331) и терригенные слабо известковистые алевритово-пелитовые илы (ст. 2329).

и 2330). Они жидкой и мягкой консистенции, серые и зеленовато-серые, восстановленные (окисленный горизонт отсутствует), однородные, неслоистые, с биогенным карбонатным материалом (фораминиферами и их обломками) до 12-15% и биогенным кремнистым материалом (диатомеями) до 2-3%; на ст. 233I с остатками морских водорослей, аутигенным глауконитом до 5% и вулканическом стеклом до 7%.

В верхней части склона слабо известковистые осадки возвышенности замещаются слабо кремнистыми терригенными алевритово-пелитовыми илами (ст. 2290), а ниже по склону они сменяются слабо кремнистыми терригенными пелитовыми илами, которые распространены и у подножья склона (рис. 5.1. и 5.2). Осадки склона и подножья возвышенности представлены пелитовыми очень однообразными слабо кремнистыми илами. Они жидкой и мягкой консистенции, с биогенным кремнистым материалом (диатомеями) до 10-12, реже 15-20%, с биогенным карбонатным материалом (обломками фораминифер) до 1-3%, однородные, неслоистые, с поверхности бурые (окисленный горизонт), — серые и зеленовато-серые (восстановленный горизонт). Мощность окисленного горизонта и верхней и средней части склона 1-3 см, в нижней части склона и у его подножья - 15-17 см.

Отсутствие окисленного горизонта и незначительная мощность ссыпаемых отложений на вершине возвышенности указывают на частичный размыв голоценовых отложений их здесь в настоящее время придонными течениями, а значительная мощность окисленного горизонта (15-17 см) и небольшая мощность голоценовых отложений (60-65 см) подножья возвышенности свидетельствуют о низкой скорости седimentации (до 6,3 см за 1000 лет) в этом регионе.

Таким образом, голоценовая седиментация на Восточно-Корейской возвышенности происходила за последние 10300 лет при последующем непрерывном подъеме уровня Японского моря, дальнейшем откры-

тии проливов (Татарского, Лаперуза и Цусимского) и установлении современной циркуляции вод в Японском море. В раннем и среднем голоцене на вершине возвышенности накапливались эдафогенные и биогенные осадки, а в позднем голоцене, когда уровень моря приблизился к современному, вероятно, начался их частичный размыв. На склоне у подножья возвышенности отлагались терригенные илы, разбавляемые биогенным кремнистым материалом.

6. Полезные ископаемые

В настоящем разделе дана характеристика фосфоритов и железомарганцевых пород обнаруженных на подводных возвышенностях Японского моря.

6.1. Фосфориты

Фосфориты подняты на ряде полигонов Восточно-Корейской возвышенности и возвышенности Криштофовича, но наиболее полно они изучены на полигоне I6-Д (см. рис. I.I).

Здесь выполнены геологические исследования, которые позволили очертить площадь распространения фосфоритов в интервале глубин 1300–2000 м. Этот участок располагается по северному склону возвышенности слегка расширяясь к низу (до 2 км), а длина его по склону составляет порядка 3,5 км, при общей площади около 6 км². Он в основном совпадает с одной из ложбин склона частично захватывая её борта. Именно для этой части возвышенности характерны наиболее крутые склоны до 25° (см. рис. 3.3).

Обломки фосфоритов были подняты на 10 станциях драгирования и 7 станциях отбора проб дночертателями пройденным по профилям ориентированным вдоль склона в субмеридиональном направлении, что позволило выделить площадь их распространения, причем северная её граница замкнута не полностью, так как драгирование глубже 2000 м в этом участке не производилось.

Поднятый материал состоял из обломков пород и значительного количества ила, который частично вымывался при подъеме драги на борт судна, а в дночертателях он сохранялся полностью. При глазо-

мерной оценке количество твердой фракции в поднятом материале составляло в среднем около 20%. Твердый материал драги отмывался на борту судна струей воды. После отмыва от ила твердый материал в части драг и дночертателей взвешивался. Ручной разборкой из него извлекались фосфориты, которые также взвешивались. В результате удалось оценить соотношение фосфоритового и нефосфоритового ^{твёрдого} материала в пробах. Масса фосфоритов колебалась от 100 граммов до 30 кг. Относительно общего твердого материала пробы это составляло от 10 до 80%. На основе этих данных была составлена ориентировочная схема изо-концентрат содержаний фосфоритового материала (рис. 6.1). Из её анализа очевидно неравномерное распределение фосфоритов в пределах оконтуренной площади. В юго-западной части её отчетливо выделяется максимум концентраций на линейно-вытянутом участке, где количество фосфоритов колеблется от 30 до 80%, за расположенным к северо-востоку минимумом (до 10% содержания фосфоритового материала), устанавливается другой максимум (30-60%). Площадь присутствия фосфоритов в пробах приближенно оконтуривается по содержанию 10-20% фосфоритового материала. Отметим, что указанные выше максимумы приурочены к наиболее крутым в пределах площади, участкам склона.

По размерам фосфоритовый материал в пробах изменяется следующим образом. В общем, и это является характерным, подавляющая часть его имеет размеры от 1 см до 20 см в поперечнике. Наиболее часты размеры обломков более 4 см в поперечнике. Были исследованы и тонкие песчаные фракции материала проб на определения присутствия в них фосфоритов. Путем исследования на классы: -0,076 мм; -0,5 + 0,076 мм; -1 + 0,5 мм; + 1 мм отмытого из ила песчаного материала было установлено, что фосфоритные обломки в очень небольших количествах (доли %) присутствуют лишь в классе -1 мм. Примазки фосфата на зернах породообразующих минералов в малых количествах наблюдались в классе -1 + 0,5 мм. В других

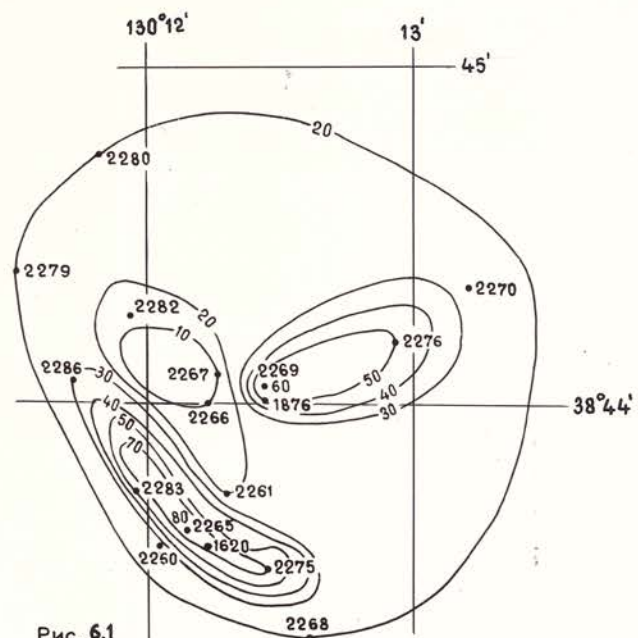


Рис. 6.1

Схема концентраций фосфоритов на изученном участке
Составил В.В.Гусев.

• 2265 станция отбора проб
— 50 линии изоконцентрат содержания фосфатного материала в % относительно твердой фракции

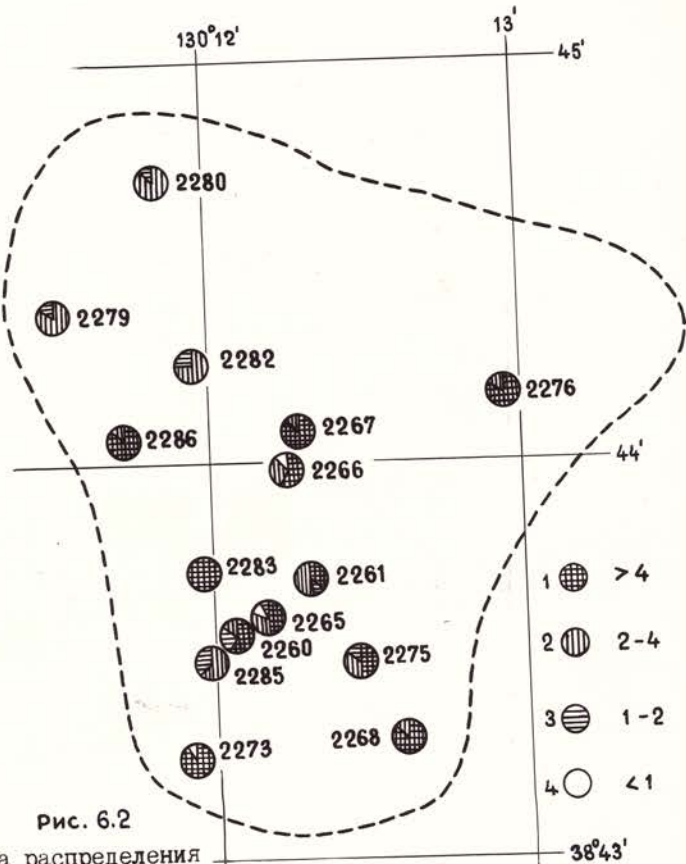


Рис. 6.2

Схема распределения фосфатного материала по величине обломков в см.
Составил В.В.Гусев.



Рис. 6.3 Обломки фосфоритов поднятые на станции 2261.

классах фосфата практически нет. Таким образом, подавляющая часть фосфоритов в пробах представлена грубообломочным материалом (рис. 6.2).

Наряду с фосфоритами в материале проб присутствуют обломки разнообразных пород: верхнемиоценовые органогенно-терригенные породы, базальтоиды - обломки размером до 30 см и более мелкие (до 8-10 см) представленные сильно разложенными, пористыми и плотными разностями. В небольшом количестве (менее 1%) встречается хорошо окатанная галька метаморфических пород размером до 5-6 см.

Фосфориты представлены двумя разновидностями: плотной и относительно менее твердой, названной слабоконсолидированной, которая в Японском море установлена впервые.

6.1.1. Твердые фосфориты в основном уже были известны и частично описаны.⁽¹⁹⁾ В 39 рейсе по ним собран значительно больший материал. Они выглядят как обломки фосфоритовой породы (вероятно, они и являются обломками фосфатного пласта). Это плотные, крепкие (с трудом раскалываются молотком) обломки. Их твердость порядка 5-5,5 по шкале Мооса. Довольно тяжелые - средний удельный вес определенный по серии образцов в горно-геологической лаборатории ПГО "Бор" составляет $2,83-2,85 \text{ г}/\text{см}^3$. Форма меньших по размеру обломков обычно угловатая, изометрическая, реже удлиненная, крупные обломки - изометрические изредка плитчатые (рис. 6.3).

С поверхности фосфориты обычно покрыты темными до черных "корками" толщиной в доли мм. На крупных образцах на одной из сторон имеется характерная "глазированная" черная блестящая поверхность, обычно слегка выпуклая. В свежем сколе фосфориты от светло-коричневого до темно-коричневого цвета, иногда пятнистые, равномерно окрашенные. Характерны преимущественно массивные, достаточно однородные текстуры, однако иногда имеются неправильные небольшие (до 1 см) пустоты, заполненные полурыхлыми продук-

тами. Редко встречаются тонкослоистые и брекчевые фосфориты.(19)

Фосфориты на 70-80% состоят из фосфата фтор-карбонат-апатитового состава, от желтоватого до зеленоватого цвета, преимущественно изотропного, редко слабо поляризующегося (микрокристаллической структуры). Фосфат слагает основную массу, в которую погружены алевролитовые до мелкоалевролитовой размерности терригенные угловатые зерна кварца, плагиоклаза, полевых шпатов довольно равномерно рассредоточенных. Не всегда, но обычно присутствуют неправильные до округлых обособления глауконита, интенсивно замещаемого фосфатом. На стыке глауконита с фосфатом обычно развивается тонкая каемка замещения. Иногда видны псевдоморфозы фосфата по глаукониту. В крупных включениях глауконита (их размеры достигают 0,6-0,8 мм) видны трещины синерезиса, в которые внедряется фосфат, разделяя обособления глауконита на отдельные блоки. Иногда от крупных зерен глауконита остаются лишь контуры, обозначенные каймой, и небольшие реликты не замещенные фосфатом.

Фосфатная масса часто почти равномерная, но обычно в ней видны структуры фосфатизированных диатомовых водорослей, строение которых сохранилось полностью или частично. В некоторых образцах или в отдельных участках их в фосфате просматривается множество таких реликтовых структур, что позволяет говорить о том, что фосфатизации подверглись органогенно-кремнисто-глауконит-терригенные илы или аналогичные по составу слабо литофицированные образования. Участками в фосфатной массе развиты налеты, пятнистые выделения пылевидного вещества органогенного или сложенно-го гидроокислами железа и марганца.

Как уже отмечалось, фосфатное вещество представлено фтор-карбонатапатитом. Содержание P_2O_5 в фосфоритах колеблется от 27 до 30% (табл. 6.1). От 40 до 70% фосфатного вещества растворяется в 2% лимонной кислоте. По этим данным, наряду с небольшим

Химический состав фосфоритов и

№ № п/п	Наименование пробы	P ₂ O ₅	SiO ₂	CaO	MgO	Fe ₂ O ₃	FeO	Al ₂ O ₃	MnO	TiO ₂
I	I620-а6	30, I 3,60	46,90	1,35	1,61	0,17	1,33	0,02	0,07	
2	I620-а	29,20 7,00	44,57	2,02	2,14	0,29	1,41	0,03	0,09	
3	I620-б	29,66 3,9	46,90	1,68	1,23	0,04	1,11	0,09	0,07	
4	I620-в	30,31 4,57	46,20	1,68	1,59	0,24	1,11	0,02	0,07	
5	I620-2	29,07 5,67	44,10	2,53	1,59	0,13	1,98	0,04	0,08	
6	I620-3	29,68 5,17	45,03	2,36	1,64	0,14	1,69	0,02	0,07	
7	I620-3а	29,86 4,47	45,50	2,36	1,66	0,24	1,20	0,02	0,08	
8	I620-5	27,22 9,47	41,77	1,85	2,74	0,23	1,75	0,06	0,12	
9	I876	27,26 8,80	40,02	3,87	3,68	0,34	1,94	0,02	0,07	
10	I876-а	27,17 9,33	40,02	3,60	1,21	0,17	2,99	0,18	0,13	
II	I606-5	25,15 8,00	39,83	1,42	3,44 (общ)		1,99	1,22	0,09	
I2	2260-5	29,87 4,95	46,27	1,01	2,80 (общ)		1,76	не опр	0,06	
I3	2266-2	29,34 6,43	45,57	0,76	3,80 (общ)		1,75	не опр	0,07	
I4	2289-3	25,81 II,55 41,36		1,26	4,40 (общ)		2,00	не опр	0,10	
I5	2268-4	28,57 6,43	44,86	1,77	2,40 (общ)		2,00	не опр	0,10	
I6	2267-10	28,56 8,43	44,86	1,52	2,80 (общ)		2,00	не опр	0,09	
I7	2268-3	23,07 I4,88 37,85		2,02	6,00 (общ)		2,50	не опр	0,11	
I8	2269-I	25,90 I2,78 40,66		1,26	3,20 (общ)		3,00	не опр	0,14	
I9	2273-I	29,68 3,38 46,97		1,26	2,40 (общ)		1,25	не опр	0,06	
20	2276-5	28,01 8,63 44,16		0,76	2,80 (общ)		2,49	не опр	0,13	
21	2267-6	6,65 42,00 I2,62		2,78	9,80 (общ)		10,81	не опр	0,80	

Примечание: №№ I-15 - твердые фосфориты (анализы I-8 взяты из работ №№ I6-20 - слабоконсолидированные фосфориты; № 21 - фос-

Химический состав фосфоритов и фосфатсодержащих пород

	SiO ₂	CaO	MgO	Fe ₂ O ₃	FeO	Al ₂ O ₃	MnO	TiO ₂	CO ₂	п.п.п.	F	O ₂
,05	I 3,60	46,90	I,35	I,61	0,17	I,33	0,02	0,07	4,35	10,04	2,00	0,0
,20	7,00	44,57	2,02	2,14	0,29	I,41	0,03	0,09	3,57	9,62	2,00	0,0
,66	3,9	46,90	I,68	I,23	0,04	I,11	0,09	0,07	5,39	10,96	I,95	0,8
,31	4,57	46,20	I,68	I,59	0,24	I,11	0,02	0,07	4,71	9,96	I,81	0,7
,07	5,67	44,10	2,53	I,59	0,13	I,98	0,04	0,08	4,65	10,50	2,29	0,9
,68	5,17	45,03	2,36	I,64	0,14	I,69	0,02	0,07	4,29	10,12	2,15	0,9
,86	4,47	45,50	2,36	I,66	0,24	I,20	0,02	0,08	4,53	10,00	2,15	0,9
,22	9,47	41,77	I,85	2,74	0,23	I,75	0,06	0,12	4,05	10,48	2,11	0,8
,26	8,80	40,02	3,87	3,68	0,34	I,94	0,02	0,07	3,55	10,48	I,88	0,7
,17	9,33	40,02	3,60	I,21	0,17	2,99	0,18	0,13	3,86	II,60	2,32	0,9
I5	8,00	39,83	I,42	3,44 (общ)	I,99	I,22	0,09	5,08	I4,29	3,22	I,31	
87	4,95	46,27	I,01	2,80 (общ)	I,76	не опр	0,06	3,87			не	
34	6,43	45,57	0,76	3,80 (общ)	I,75	не опр	0,07	3,68			не	
8I	II,55	41,36	I,26	4,40 (общ)	2,00	не опр	0,10	3,62	не опр	I,82	0,71	
57	6,43	44,86	I,77	2,40 (общ)	2,00	не опр	0,10	3,86			не	
56	8,43	44,86	I,52	2,80 (общ)	2,00	не опр	0,09	3,74	не опр	2,50	I,05	
07	I4,88	37,85	2,02	6,00 (общ)	2,50	не опр	0,11	3,24	не опр	I,62	0,68	
90	I2,78	40,66	I,26	3,20 (общ)	3,00	не опр	0,14	3,12	не опр	I,54	0,65	
58	3,38	46,97	I,26	2,40 (общ)	I,25	не опр	0,06	5,00			не	о
0I	8,63	44,16	0,76	2,80 (общ)	2,49	не опр	0,13	3,06			не	о
55	42,00	I2,62	2,78	9,80 (общ)	I0,81	не опр	0,80	0,62			не	о

I5 - твердые фосфориты (анализы I-8 взяты из работы

-20 - слабоконсолидированные фосфориты; № 2I - фосфатизированная слаболити

Таблица 6.1

одержащих пород

п.п.п.	Σ	$O_2 = F$	Na_2O	K_2O	BaO	$S_{общ}$	$O_2 = S$	Σ_I	Σ_{II}	Р-римость в 2х% лим.к-те
10,04	2,00	0,84	0,61	1,94	0,44	0,81	0,40	100,99	99,75	21,25
9,62	2,00	0,84	0,70	1,53	0,44	0,80	0,40	101,84	100,60	19,83
10,96	1,95	0,82	0,57	1,84	0,41	0,77	0,39	101,18	99,97	22,85
9,96	1,81	0,76	0,50	1,89	0,41	0,76	0,38	101,12	99,98	19,00
10,50	2,29	0,95	0,53	1,59	не опр.	0,77	0,39	100,87	99,53	19,73
10,12	2,15	0,91	0,50	1,53	не опр.	0,82	0,41	100,92	99,60	18,85
10,00	2,15	0,91	0,57	1,78	не опр.	0,88	0,44	101,12	99,98	19,93
10,48	2,11	0,89	0,70	1,54	не опр.	0,80	0,40	100,84	99,75	17,4
10,48	1,88	0,79	0,90	0,60	0,16	0,69	0,34	100,71	99,58	не опр.
11,60	2,32	0,98	1,36	0,55	не опр.	0,62	0,31	101,25	99,96	не опр.
14,29	3,22	1,36	1,52	0,52	не опр.	0,66	не опр.	100,71	99,39	не опр.
		не определялось						-	-	II,90
		не определялось						-	-	14,16
не опр.	1,82	0,77	не определялось					-	-	12,76
		не определялось						-	-	13,82
не опр.	2,50	1,05	не определялось					-	-	II,68
не опр.	1,62	0,68	не определялось					-	-	7,19
не опр.	1,54	0,65	не определялось					-	-	13,00
		не определялось						-	-	16,14
		не определялось						-	-	13,24
		не определялось						-	-	4,74

; ованная слаболитифицированная порода.

средним содержанием вредных примесей фосфориты вероятно могут использоваться для производства водорастворимых удобрений.

Отношения фтора к P_2O_5 колеблется от 0,06 до 0,08, CO_2 к P_2O_5 от 0,13 до 0,16. Для вещественного изучения фосфоритов были использованы также методы ИК-спектроскопии, термического и рентгеноструктурного анализов, выполнены в лаборатории гео-гидрохимии ТОИ. ИКспектры поглощения фосфоритов снимались на приборе IR-20. Использовалась стандартная методика приготовления образцов в виде суспензии в вазелиновом масле и таблетирования с КВГ. Для получения спектров в интервале $1300-1500\text{ см}^{-1}$ и $2800-3000\text{ см}^{-1}$, где вазелиновое масло имеет собственные полосы поглощения, использовалось фторированное масло, прозрачное в этих участках спектра.

Твердые фосфориты имеют следующие полосы поглощения: γ_4 - асимметричное деформационное колебание аниона PO_4^{3-} с частотами 605 и 575 см^{-1} , γ_3 - асимметричное валентное колебание PO_4^{3-} 1100 см^{-1} , γ_1 - полносимметричное валентное колебание PO_4^{3-} аниона - 980 см^{-1} . γ_3 - валентное колебание CO_3^{2-} иона, структурно связанного с фосфатным минералом дало дуплет: 1430 и 1460 см^{-1} , полосу при 885 см^{-1} отнесли к деформационным колебаниям аниона CO_3^{2-} . Фосфориты постоянно содержат воду, что подтверждается широкой полосой валентных OH-колебаний воды при 3450 см^{-1} и деформационных колебаний при 1640 см^{-1} (20).

По данным дифференциального термического анализа, выполненного на дериватографе фирмы МОМ (рис. 6.4), адсорбированная вода удаляется при нагревании фосфорита в интервале температур от 50 до 260°C с резким перегибом кривой ДТГ и значительным эндотермическим эффектом (20). Её количество $\sim 2,64\%$. При дальнейшем нагревании происходит потеря структурно-свободной воды и разложение глауконита (максимум на кривой ДТА при $+460^{\circ}\text{C}$). Перекристаллизация решетки во фторапатитовую с выходом части карбоната из структуры происходит при температуре 760°C с резким эндотермическим эффектом.

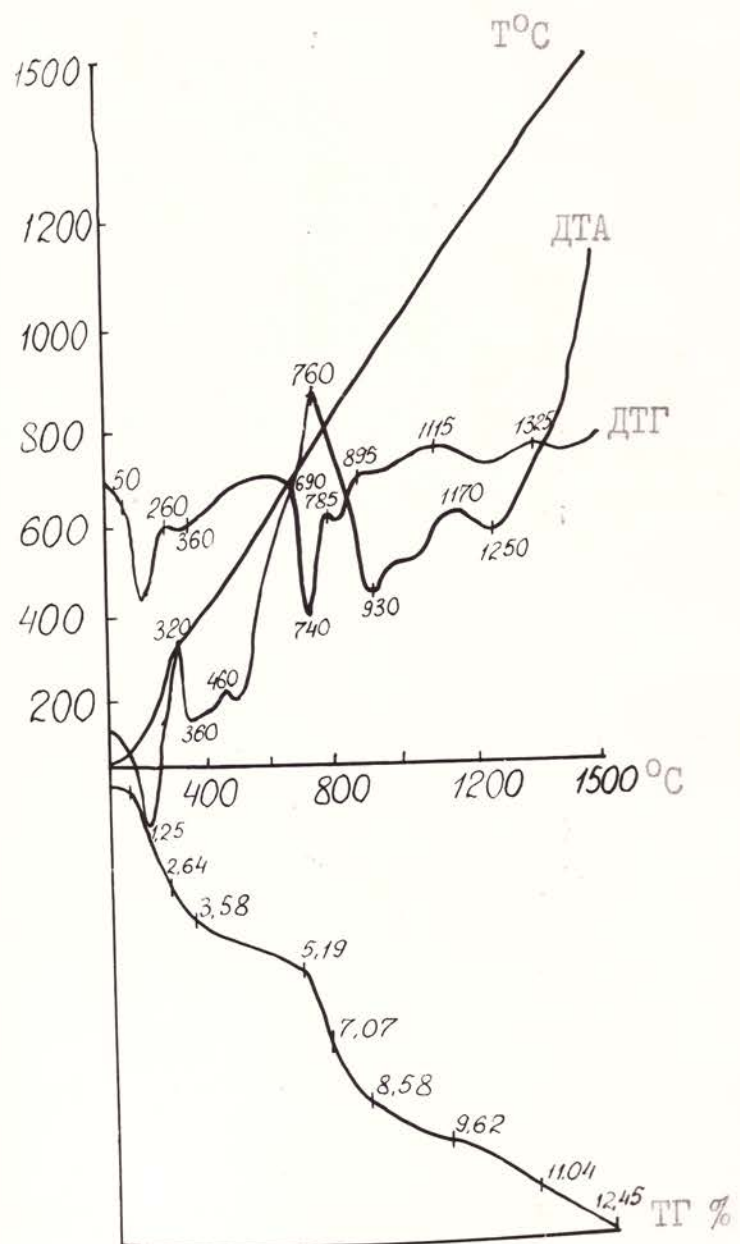


Рис. 6.4. Графики дифференциального термического анализа фосфоритов

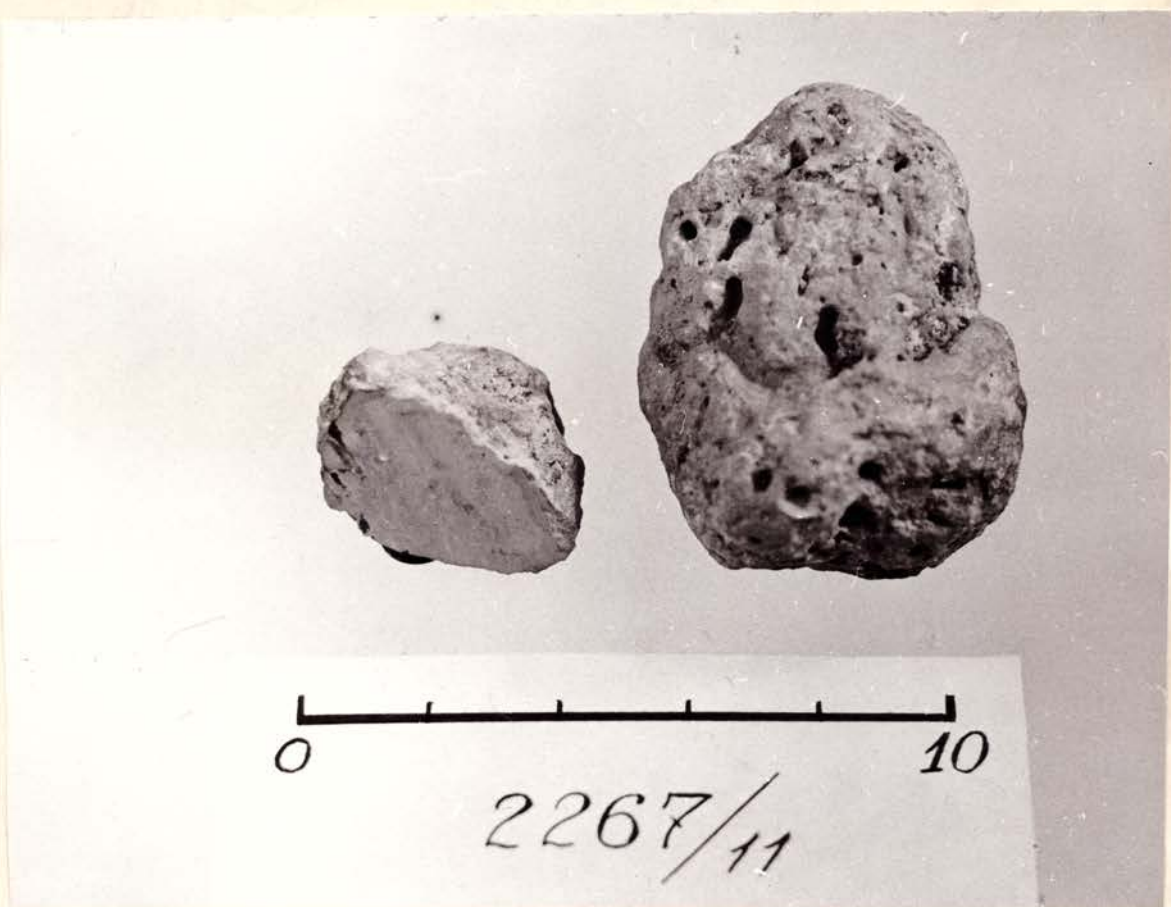


Рис. 6.6. Обломки слабоконсолидированных фосфоритов

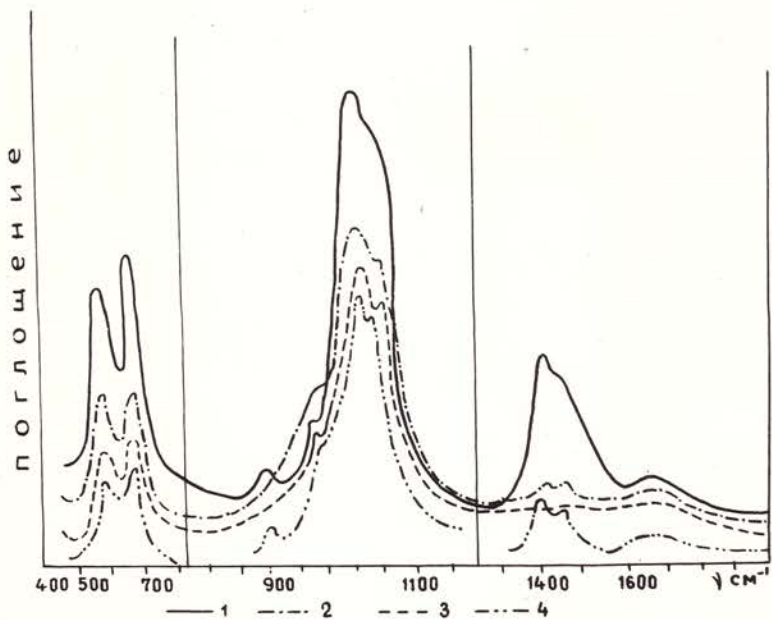


Рис. 6.5 Спектры поглощения твердого фосфорита при нагревании. 1 - исходный образец; 2 - прокаленный до 1000°C ; 3 - прокаленный до 1500°C ; 4 - прокаленный до 340°C

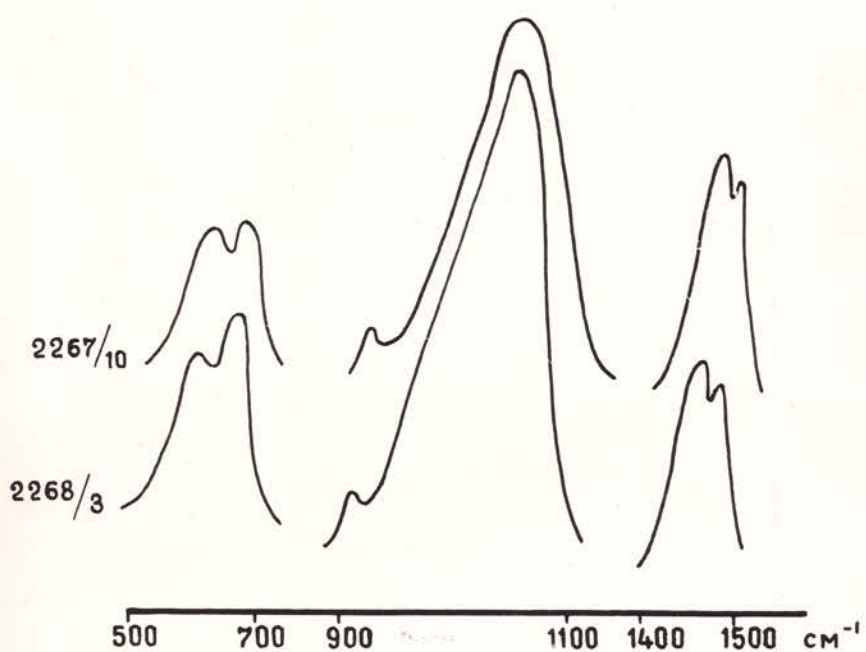


Рис. 6.7 ИК-спектры слабоконсолидированных фосфоритов.

На кривой ДТГ В этой области выделяется два прогиба (740 и 820°C), что, по-видимому, может быть косвенным доказательством возможности вхождения карбонат-иона в разные структурные позиции фосфатного минерала. Дальнейшая потеря веса при T выше 900°C связана с потерей, вероятно, остатков иона CO_3^{2-} . Как показывает химический анализ продуктов прокаливания, фтор практически не удаляется до $+1500^{\circ}\text{C}$.

В ИК-спектрах прокаленных фосфоритов видно (рис. 6.5), что при прокаливании до $+1000^{\circ}\text{C}$ удаляется из структуры большая часть карбонат-иона (интенсивность колебаний 1430 и 1460 см^{-1} резко снижается), при прокаливании до 1500° весь карбонат исчезает. Характер же колебаний фосфат-ионов не изменяется. Содержание P_2O_5 (в исходной пробе - $27,17\%$) увеличивается при нагреве до 900°C до $27,32\%$, при нагреве до $+1000^{\circ}\text{C}$ до $27,92\%$, при нагреве до $+1500^{\circ}\text{C}$ до $28,39\%$.

По данным рентгено-структурного анализа, выполненного на рентгеновском дифрактометре ДРОН-2,0, фосфатный минерал кристаллизуется в гексагональной сингонии. Параметр „ a ” элементарной ячейки = $9,32\text{\AA}$, „ c ” = $6,90\text{\AA}$ (20). Показатель преломления, измеренный в иммерсионных жидкостях - $1,594$ - $1,60$. При прокаливании до 1000°C параметр „ a ” = $9,32\text{\AA}$, „ c ” = $6,85\text{\AA}$, $N_{\text{ср}}$ увеличивается до $1,62$. При прокаливании до $+1500^{\circ}\text{C}$ параметр „ a ” = $9,35\text{\AA}$, „ c ” = $6,88\text{\AA}$, $N_{\text{ср}} = 1,64$.

6.1.2. Слабо консолидированные фосфориты были установлены в 39 рейсе В.В.Гусевым впервые. Они обнаружены в виде отдельных обломков в 5 пробах (рис. 6.6). Эти обломки достигают 10 см в поперечнике, они изометричны, без острых граней. Иногда они пронизаны ходами илоедов (рис. 6.6). На поверхности некоторых обломков видны поселения организмов. С поверхности обломки не покрыты темными "корками", как твердые и с поверхности, и в сколе. Цвет их от светло-серого, желтоватого до светло-коричневого. Они довольно тяжелые

(уд.вес 2,79-2,81 г/см³) и более мягкие чем первые. Твердость их по шкале Мооса - 3,5-4,5. Они, также как и твердые, состоят из преимущественно изотропной массы фторкарбонатита, но несколько более светлой окраски без темной хлопьевидной примеси (органического материала или железо-марганцевых окислов).

Фосфатное вещество их обычно не выглядит под микроскопом "литым" в единую массу, как в твердых фосфоритах, а несколько менее компактным.

Характер терригенной примеси в этих фосфоритах по размеру, распределению, качественному и количественному составу в целом близок твердым фосфоритам. В них также присутствует и глауконит, на крупных (до 0,5-0,8 мм) округлых зернах которого отчетливо видны трещины синерезиса, в ряде случаев усиленные процессами растворения. Фосфат, внедряясь по трещинам, раздвигает части обособлений глауконита, замещая его. Реже глауконит выполняет трещинки, секущие массу фосфата.

Признаки первичных илов или пород, замещенных фосфатом, здесь видны несколько лучше - больше и почти постоянно встречаются слепки створок диатомей, спикулы губок, радиолярий, редко фораминифер. Таким образом, и в этом случае первичная порода определяется как органокремнисто-глауконито-терригенная.

Содержание P₂O₅ в слабоконсолидированных фосфоритах колеблется от 23 до 29%. От 31 до 54% фосфата растворяется в 2% лимонной кислоте. Отношение фтора к P₂O₅ от 0,0594 до 0,0875; CO₃ к P₂O₅ - от 0,1205 до 0,1402. Средний показатель преломление $N_{\text{ср}} = 1,596 - 1,598$. Рентгенограммы и ИК спектр ^{б/у} сходны со спектрами твердых фосфоритов. Однако, более широкие "пики" на спектрах слабоконсолидированных фосфоритов, возможно указывают на более слабую растворимость их фосфатного вещества. Имеются еще некоторые тонкие отличия в спектрах (изменение соотношений интенсивности некоторых линий и т.д.), объяснить которые, вероятно, можно

некоторыми отличиями в составе фосфоритов. Фосфатный минерал фосфоритов относится к группе курскит-франколита. (рис. 6.7).

6.1.3. Представляет интерес впервые обнаруженная слабоконсолидированная фосфатсодержащая глауконит-глинистая порода с 6-7% P_2O_5 в одной пробе. Она не прочная, легко ломается, рассыпается и, видимо, поэтому поднята в небольшом количестве. Эта разновидность содержит обычно небольшое количество алевритовой размерности терригенной примеси: зерен кварца, плагиоклаза, полевых шпатов, а также отдельные кристаллы кальцита, апатита и др. Постоянно присутствует глауконит, иногда в значительном количестве (до 10-15% объема). Зерна его в основном округлой формы, величиной до 1-1,5 мм. Есть зерна и обломки зерен меньших размеров. Во многих крупных зернах видны трещины синерезиса. В большом количестве присутствуют слепки спикул губок, створок диатомовых, радиолярий. Фосфат здесь, по-видимому, присутствует в основной глинистой массе, частично замещая органическое вещество. ^{фосфат} малокарбонатный ($CO_2/P_2O_5 = 0,093$). Заделить его для минералогических исследований пока не удалось. Содержание лимонорастворимого P_2O_5 очень высокое, но из-за низкого общего P_2O_5 , вероятно, завышенное (табл. 6.1).

Дальнейшее изучение фосфоритоносности было направлено на выяснение принципиально важного вопроса - оценки возможности отделения фосфоритов от сопровождающего их в пробах нефосфатного материала - обломков базальтоидов, пород неогена, т.е. выяснения обогатимости. Для этого была использована проба № 2270 (см. рис.). Она целиком была передана в горно-геологическую лабораторию ШЮ "Бор", где и были произведены ниже характеризуемые исследования обогатимости. Заключались в минерально-вещественном изучении материала пробы и собственно технологической оценке.

6.1.4. Минералого-вещественные исследования. Был выполнен ситовый анализ пробы. Материал классов ситового анализа (табл. 6.2) + 40,0, - 40.0 + 5,0 - 5,0 + 0,10 мм представлен в основном полуокруглыми обломками фосфоритов, базальтоидов, терригенно-диатомитовых пород неогена. В образцах фосфоритов содержание P_2O_5 в среднем 27,5 - 29,0%. Удельный вес базальтоидов 2,67 г/см³, а средний удельный вес фосфоритов 2,83-2,85 г/см³.

Классы ситового анализа были разделены в тяжелой жидкости М-45 (водный раствор кадмия и бария). Результаты проведенных исследований по гравитационному разделению руды приведены в таблице 6.3, из которой видно, что фосфатными являются фракции с удельным весом + 2,77 г/см³, где содержание P_2O_5 равняется 28,2% при извлечении до 90,4%. В классе -5+0,10 мм этой же фракции +2,77 г/см³ содержание P_2O_5 - 2,54%, т.к. в этом классе при рассеве обломков фосфатного вещества не осталось, но повышение содержания фосфора связано с содержанием его в базальтоидных и терригенно-диатомовых породах.

Таким образом предварительные опыты по получению фосфоритового продукта из пробы показали возможность получения концентраты с содержанием P_2O_5 - 28,3% при высоком извлечении.

6.1.5. Технологические исследования. Проба была рассеяна на классы -40 + 5 мм и -5 + 0 мм + 40 мм. Результаты, приведенные в таблице 6.4, показывают концентрацию фосфатного вещества в разных классах. Так, класс +40 мм содержит P_2O_5 на уровне 15 % извлечении от исходного 33%. Средние классы (-40+5 мм) несколько выше исходного. Мелочь, представленная классом -5+0 мм, состоит в основном из пород, резко обедненных фосфатом. Содержание окиси фосфора в этом классе по-существу отвальное (0,8%). Оксид фосфата с этим материалом также незначительные - на уровне

Таблица 6.2.

Результаты разделения руды морских фосфоритов

<u>Удельный вес фракции, г/см³</u>	<u>Выход %</u>	<u>Содержание, %</u>	<u>Извлечение, %</u>
III. +40,0 мм			
- 2,50	46,2	0,77	2,40
+2,50-2,77	6,10	17,72	7,20
+ 2,77	47,70	28,27	90,40
	100	14,90	100
III. -40,0+5,0			
-2,50	73,20	0,97	9,40
+2,50-2,77	6,30	17,02	14,10
+2,77	20,50	28,3	76,50
	100	7,60	100
III. -5,0+0,10			
-2,50	4,71	0,30	16,70
+2,50-2,77	33,7	0,64	25,60
+2,77	19,20	2,54	57,70
	100	0,80	100

Таблица 6.3.

Разделение классов исходной руды в жидкости М-45

Фракции	Выход, %	Содержание % P_2O_5	Распределение % P_2O_5
класс +40,0 мм			
-2,50	46,2	0,77	2,4
+2,50-2,77	6,10	17,72	7,2
+2,77	47,70	28,27	90,4
	100,0	14,9	100,0
класс -40,0+50 мм			
-2,50-2,77	72,3	0,97	9,4
+2,50-2,77	6,3	17,02	14,1
+2,77	20,5	28,3	76,5
	100,0	7,6	100,0
класс -50+0,1 мм			
- 2,50	47,1	0,3	16,7
+ 2,50-2,77	33,7	0,64	25,6
+2,77	19,2	2,54	57,7
	100,0	0,8	100,0

С целью предварительной ориентировочной оценки обогатимости исследуемой пробы материал в крупности +40 мм, -40+5 мм и -5+0,1мм разделялся в тяжелых средах по удельному весу 2,65 г/см³ и 2,7 г/см³ (см. выше). На этой основе были расчитаны ожидаемые результаты обогащения в условиях близких к промышленным. Результаты разделения представлены в таблицах 6.5. и 6.6.

Таким образом, первые оценочные опыты и выполненные расчеты по принятым методикам показывают, что гравитационным способом обломки богатых фосфоритов сравнительно легко отделяются от твердых нефосфатных сопровождающих пород. При этом обогащенный материал может содержать порядка до 27-28% P₂O₅ при сравнительно высоком извлечении (до 85-89% в расчете на фосфоритовые P₂O₅).

Были проведены опыты по оценке возможности обжига этого продукта при $t = +950^{\circ}\text{C}$ в течении часа. Эта операция позволяет повысить содержания P₂O₅ в концентрате еще на 2-3%.

Следовательно, можно ожидать при обогащении гравитационными методами (сuspезионным и в гидроциклоне) и обжигом из проб, типа пробы 2270, получения концентратов на уровне 30-31% P₂O₅ при извлечении 85-88% (в расчете на фосфоритовое P₂O₅).

Анализ имеющихся материалов позволяет утверждать, что обломки описанных фосфоритов входят в состав подводной делювиальной (адафогенной) осьпи склона возвышенности, наряду, естественно, с обломками других драгированных с ними пород – вулканитов и отложений неогена, а также обильного ила. Как и другие обломки пород, фосфориты могли оказаться в составе таких осипей только при разрушении коренных выходов на формирующееся достаточно крутом склоне, что и фиксируется в рассматриваемом случае. Характер и состав фосфоритов позволяет считать, что они происходят из нижних горизонтов верхнего миоцена, налегающего на базальтоиды, и ассоциируют с глауконитизированными глинистыми породами, содержащими слепки

Таблица 6.4.

Ситовый анализ исходной пробы

Наименование классов крупности, мм	Выход % %	Содержание P_2O_5 % %	Извлечение P_2O_5 % %
+40 мм	17,1	14,92	33,5
-40+5	63,7	7,73	64,5
-5+0 мм	19,2	0,8	2,0
Исходная пробы	100,0	7,64	100,0

Таблица 6.5.

Ожидаемые результаты гравитационного обогащения по
удельному весу 2,65 г/см³

Наименование продуктов	Выход, %		Сод. P_2O_5 % %	Извлечение P_2O_5 , % %	
	от операц.	от исх.		от операции	от исх.
концентрат	51,3	8,8	27,5	94,4	31,6
хвосты	48,7	8,3	1,72	5,6	1,9
Итого класс +40 мм	100,0	17,1	14,92	100,0	33,5
концентрат	25,7	16,4	25,83	85,96	55,4
хвосты	74,3	47,3	14,6	14,04	9,1
Итого класс -40+5мм	100,0	63,7	7,13	100,0	64,5
класс -5+0 мм	-	19,2	0,8	-	2,0
Исходная проба		100	7,64	-	100
Общий концентрат	-	25,2	26,40	-	87,0
Общие хвосты отвалы	-	74,8	1,32	-	13,0
Исходная проба	-	100,0	7,64	-	100,0

Примечание: Расчеты на общее содержание P_2O_5 , включая и низкие содержания P_2O_5 в базальтоидах и породах неогена.

Таблица 6.6.

Ожидаемые результаты гравитационного обогащения
пробы по удельному весу 2,7 г/см³

Наименование продуктов	Выход, % от операц.	от исх.	Сод. Р ₂₀₅ % %	Извлечение Р ₂₀₅ , % % от операц. от исх.
концентрат	48,7	8,3	27,8	90,6
хвосты	51,3	8,8	2,7	9,4
Итого класс + 40 мм	100,0	17,1	14,92	100,0
концентрат	24,07	15,3	26,3	81,8
хвосты	75,93	48,4	1,85	18,2
Итого класс -40+5	100,0	63,7	7,73	100,0
класс -5+0 мм	-	19,2	0,8	-
Исходная проба	-	100,0	7,63	-
Общий концентрат	-	23,6	26,83	-
Общие хвосты отвалын.	-	76,4	1,69	-
Исходная проба	-	100,0	7,63	-
				100,0

остатков кремнистых организмов (диатомей, губок, радиолярий). Фосфориты, вероятно, неравномерно распределены по разрезу и скорее всего образуют слойки, линзочки, прослои мощностью до первых десятков сантиметров, чередуясь с этими органокремнисто-глинистыми породами. Они, вероятно, образовались в стадию диагенеза в толще глауконитизированных алевро-глинистых илов (или пород), неравномерно, но довольно значительно обогащенных кремнеорганическими остатками.

Что касается присутствия в пробах вышеописанных разновидностей фосфоритов и фосфатоносных пород, то по этому поводу могут быть высказаны разные предположения. Рассматривая два варианта авторы хотели бы заострить внимание на этом важном в теоретическом и практическом отношении вопросе, который в дальнейших исследованиях должен привлечь внимание.

Допускается, что фосфатизация первичных илов (или породы) этих разновидностей проходила не одновременно, поскольку допускается её широкий временной интервал. Соответственно фосфатизации подвергался не один узкий стратиграфический уровень, а явно разные. Поэтому возможно, что слабоконсолидированные фосфориты соответствуют более высоким горизонтам (более "молодые") неогена. В процессе же "старения" фосфатизированной породы они со временем могут превратиться в твердые фосфориты. Таким образом, эти две разновидности фосфоритов могут просто происходить из разных частей разреза верхнего миоцена — твердые из более нижних, слабоконсолидированные — из верхних.

По другой точке зрения твердые и слабоконсолидированные фосфориты в принципе аналогичны и одновозрастны. Имеющиеся же различия (различная твердость, наличие или отсутствие корок" и т.п.) не принципиальны и связаны лишь с разной степенью проявления изменений, которые претерпевают обломки фосфорита, попадающие из коренных пород (где они без "корок" и слабоуплотненные) в осьпи склона,

в том числе и на поверхность их, в зависимости от времени пребывания в таких условиях. Считается, что черные "корки" могут возникнуть только после достаточно долгого пребывания этих обломков в стационарном состоянии на поверхности раздела осыпь - морская вода. Соответственно, одновременно происходит, по-видимому, и уплотнение, "окаменение" такого фосфоритового обломка. По этой точке зрения, слабоконсолидированные без "корок" фосфориты сравнительно недавно попали из коренных пород в осыпь и не находятся в стационарном состоянии. Они фиксируют участки более интенсивного разрушения коренных пород на склоне. Именно поэтому они более всего близки по своему сложению и первичному составу к породам миоцена, питающим осыпь. Таким образом, твердые фосфориты отражают еще слабо изученные процессы подводного выветривания эдафогенного фосфоритного материала на сравнительно больших глубинах моря по сравнению с слабоконсолидированными. Что касается фосфатоносных пород, то прежде всего это отражение неравномерного развития процессов диагенетической фосфатизации в отложениях миоцена, в подавляющей части вообще не фосфатизированных.

В результате проведенного рейса и обработки полученных материалов можно высказать некоторые принципиально важные критерии для поисков подобных описанным выше фосфоритов на подводных возвышенностях Японского моря. Очевидно, что интерес для обнаружения фосфоритсодержащих осипей могут представлять участки, сложенные миоценовыми глауконитизированными алеврито-глинистыми отложениями с обилием кремнеорганических остатков, области древнего внешнего шельфа, аналогичные изученным, обнажающиеся на достаточно крутых склонах, разрезающих область их контакта с подстилающими вулканическими, возможно, и с другими более древними породами. Пологие склоны, закрытые современными осадками, исключают возможность результативного драгирования.

В дальнейшем для оценки перспектив вышеописанного участка необходимо определить мощность фосфатсодержащей осыпи и количество фосфоритовых обломков по её разрезу, для чего необходимо провести отбор рыхлых отложений прямоточными трубками большого диаметра и кроме того следует оконтурить нижнюю часть осыпи глубже 2000 м.

6.1.6. Кроме вышеописанного участка фосфориты были обнаружены в единичных станциях на других полигонах.

На полигоне I6-В (станция 2289 - глубина 1500-1350 м) подняты твердые фосфориты в количестве 0,6-0,7 кг в виде мелких (до 5x3x1,5 см) полуокатанных обломков. Они аналогичны фосфоритам полигона I6-Д, а также фосфоритам поднятым на этом (I6-В) полигоне в 30 рейсе нис "Первенец", содержание P_2O_5 в которых составляет 25,15% (см. табл. 6.1., пробы I606-5).

В 10 милях к югу от полигона I6-Д в геологической обстановке сходной с обстановкой этого полигона на склоне Восточно-Корейской возвышенности на станции 2332 (глубина 1800-1700 м) установлены обломки чёрных плотных фосфоритов размером до 12x6x2,5 см общим весом до 0,5 кг.

На полигоне I8-Г (возвышенность Криштофовича) на двух станциях отбора проб дночерпательями (2299 - глубина 1460 м и 2301 - 1650 м) подняты мелкие обломки твердых фосфоритов.

Развитие фосфоритов в различных частях Восточно-Корейской возвышенности значительно расширяет перспективность этой части дна Японского моря, для оценки которой необходима постановка целенаправленных геолого-геофизических исследований.

6.2. Железо-марганцевые породы

Эти породы развиты на всех полиграах Японского моря, где они подняты в отдельных драгах совместно с вулканогенными породами. Обычно они представлены небольшими (от 2 до 10 см) обломками

Таблица 6.7.

Химический состав железо-марганцевых пород

№ проб	SiO ₂	TiO ₂	Al ₂ O ₃	Fe ₂ O ₃	FeO	MnO	MgO	CaO	Na ₂ O	K ₂ O	П.п.п.	Сумма
2260-3	2,38	0,02	5,34	1,57	10,02	52,97	8,73	1,09	1,76	1,62	16,63	102,13
2313-2	18,38	0,41	6,33	1,02	10,02	39,84	6,87	1,41	2,29	1,89	12,55	101,01
2325-I	9,02	-	2,08	-	10,02	53,41	4,02	1,47	1,96	1,82	16,24	100,04

Примечание: 2260-3 – полигон 16-А, 2313-2 – полигон 27 (возв. Гебасс).
 2325-I – полигон 16-В.

корок и конкреций черного цвета, иногда в виде почкообразных сростков нескольких мелких до 1 см шариков. Кроме того, они образуют цемент в агломератовых брекчиях, обломки которых представлены базальтами, а цементом служит железо-марганцевый материал.

Химический состав этих пород приведен в таблице 6.7. В них высокое содержание марганца и небольшое содержание железа в основном в двухвалентной форме. Эти породы сложены в основном марганцевыми минералами: псиломеланом и тодорокитом.

Заключение

Наиболее важные результаты рейса заключаются в следующем.

Было закончено изучение рельефа дна и геологического строения подводной возвышенности Гебасс, расположенной в Центральной глубоководной котловине Японского моря. Этот вулканический хребет сложен базальтовыми лавами с шаровой отдельностью, которые изливались в подводных условиях. Наряду с этим на этой возвышенности обнаружены плиоценовые отложения со слоями базальных конгломератов, хорошо окатанная галька которых представлена нижележащими базальтами. Наличие этих галек может свидетельствовать о том, что в домиоценовое время эта вулканическая постройка возвышалась над уровнем моря в виде острова, а затем опустилась более чем на 1600 м ниже его уровня.

На участке Восточно-Корейской возвышенности оконтурена площадь (порядка 6 км²) распространения высококачественных фосфоритов с содержанием Р₂O₅ от 26 до 30%. Обломки этих фосфоритов входят в состав подводной эдафогенной осадки, наряду с обломками других пород. Содержание обломков фосфоритов относительно твердой фракции колеблется в широких пределах (10-80%) при среднем 20-25% на массу твердого материала в пределах изученного контура.

Первые оценочные опыты по обогащению этих фосфоритов показали, что при обогащении гравитационными методами и обжигом проб можно ожидать получение концентрата на уровне 30–31% P_2O_5 при извлечении 85–88% (в расчете на фосфоритовое P_2O_5). Обломки аналогичных фосфоритов были найдены в сходных геологических условиях к югу и западу от изученного участка. Эти данные позволяют считать центральную часть Восточно-Корейской возвышенности весьма перспективной в отношении поисков фосфоритов.

Литература

1. Куно Х. Латеральная вариация базальтовой магмы вкрест окраин континентов и островных дуг. В кн.: "Окраины континентов и островные дуги". М., "Мир", 1970, с.249-262.
2. Koizumi I. 1977. Diatom Biostratigraphy in the North Pacific region: International Congress on Pacific Neogene Stratigraphy, 1-st , Tokyo 1976, Proceedings, p. 235-253.
3. Burckle L.H. and Opdyke N. 1977. Late Neogene diatom correlations in the circum - Pacific: International Congress on Pacific Neogene Stratigraphy. 1-st, Tokyo, 1976, Proceedings, p. 255-284.
4. Barron J.A. 1980. Lower Miocene to Quaternary diatom biostratigraphy of DSDP Leg 57, off northeastern Japan. In: Init. Rep. of the DSDP, 56,57, Pt. 2, Washington, p. 641-686.
5. Bukry D. 1973. Coccolith and silicoflagellate stratigraphy, DSDP Leg 18, eastern North Pacific. In: Init. Rep. of the DSDP, vol 18, Washington, p. 817-831.
6. Ling H.Y. 1973. Silicoflagellates and Ebriidians from Leg 19. In: Init. Rep. of the DSDP, vol. 19, Washington, p. 751-775.
7. Ciesielsky P.F. 1975. Biostratigraphy and paleoecology of Neogene and Oligocene siliflagellates from cores recovered during Antarctic Leg 28, DSDP. In: Init. Rep. of the DSDP, vol.28,Washington, p.625-691.
8. Barron J.A. 1976a. Revised Miocene and Pliocene diatom biostratigraphy of Upper Newport Bay, Newport Beach, California. Marine Micropaleontology, N 1, p. 27-63.
9. Barron J.A. 1976b. Marine diatom and silicoflagellate biostratigraphy of the type Delmontian stage and the type Bolivina obliqua zone, California. Jour. Research U.S. Geol. Survey, v. 4, N 3, p. 339-351.

10. Леликов Е.П., Терехов Е.П. О двух комплексах пород восточно-го склона Восточно-Корейской возвышенности. В кн.: "Новые данные по геологии Дальневосточных морей". Владивосток, 1979, с.121-128.
11. Геология Кореи (ред. Масайтис В.Л.). М., "Недра", 1964, 264 с.
12. Леликов Е.П., Терехов Е.П. Щелочные вулканиты дна Японского моря. "Тихоокеанская геология", 1982, № 2, с. 71-77.
13. Леликов Е.П., Съедин В.Т. и др. Магматические комплексы дна Японского моря. "Тихоокеанская геология", 1983, № 2
14. Берсенев И.И. и др. Стратиграфия четвертичных отложений дна Японского моря. 1981 (Отчет № хранения ВНИЦ Б972918 от 23.03.1981 года).
15. Хотинский Н.А. Корреляция голоценовых отложений и абсолютная хронология схемы Блитта-Сернандера. В кн.: Голоцен. "Наука", М., 1969, с.78-91.
16. Кинд Н.В. Геохронология позднего антропогена по изотопным данным. Труды, вып. 257, "Наука", М., 255 с. 1974.
17. Марков Ю.Д. Условия осадконакопления в голоценовое и поздне-плейстоценовое время в заливе Петра Великого (Японское море). Канд. диссерт., Владивосток, 1980, 233 с. (В Совете Президиума ДВНЦ АН СССР, 9.10.1980 г.).
18. Геологическое развитие Японских островов. Изд. "Мир", М., 1968, 720 с.
19. Липкина М.И., Школьник Э.Л. Фосфориты с подводного вулкана Ченцова в Японском море. ДАН, т.257, № 1, 1981, с. 217-222.

20. Гусев В.В., Толок К.П., Плисс С.Г. О фосфоритах Японского моря. Севастополь, 1982, тез. докл. П Всесоюзного съезда океанологов с. 50-51.
21. Блисковский В.З., Батурина Г.Н., Кузьмина Т.С. О фосфатном веществе некоторых фосфоритов со дна океана. "Литология и полезные ископаемые". № 4, 1975.

Приложение 1-Г

Каталог геологических станций драгирования

№ п/п	№ станций	Координаты широты	Интервал драгирования	Описание пород	Пред- полага- емый возраст	Приме- чание
I	2	3	4	5	6	7
Полигон 16-Д						
1	2256	$38^{\circ}42,2'$ <hr/> $130^{\circ}11,9'$	1300-1200	Около 10 кг щебня пористых базальтов, пакамитовых и пелитовых туфов основного состава, слабоуплотненных туфопесчаников (мелкие обломки). Мелкая галька эфузивов.		
2	2257	$38^{\circ}43,05'$ <hr/> $130^{\circ}13,3'$	1450-1350	Около 50-60 кг глыб и обломков измененных агломератовых туфов и туфобрекчий основного состава. В мелких обломках крупнопористые базальты и глауконитовые (?) алевриты. Мелезо-марганцевые корки.		
3	2258	$38^{\circ}43,9'$ <hr/> $130^{\circ}11,4'$	1600-1500	Поднято 80 кг крупных (до 30 см) глыб и более мелких обломков измененных пористых базальтов из шаровых лав, стекловатых гиалокластитов (?), пестроцветных брекчий основного состава, алевропелитовых туфов и слабоуплотненных алевритов (2-я обломка).		

продолжение приложения

	2	3	4	5	6	7
4	2259	$38^{\circ}44,2'$ $\overline{130^{\circ}12,0'}$	1850-1750	Около 10 кг обломков окремненных гиалокластитов, туло-гравелитов слабоуплотненных и алевропеллитовых турбидитомитов (?)		
5	2260	$38^{\circ}48,6'$ $\overline{130^{\circ}12,1'}$	1450-1350	Около 80 кг глинистого щебня окремненных гиалокластитов (?), единичные мелкие обломки базальтов, тулоидитомитов, железомарганицевых корок. Фосфатизированные диатомиты плотные ($\sim \frac{1}{5}$ часть поднятых пород).		
6	2261	$38^{\circ}43,7'$ $\overline{130^{\circ}12,3'}$	1700-1600	Драга полная ила 9,5 кг обломки пород, галька и щебень. Окременные гиалокластиты (?) десять обломков. Фосфатизированне диатомиты ($1,6$ кг) 5 крупных ($5 \times 7 \times 5$) и мелкие обломки. Остальная южная часть составляет галька и щебень гиалокластитов.		
7	2262	$38^{\circ}43,2'$ $\overline{130^{\circ}13,3'}$	1450-1400	Драга полная ила ~ 1 кг мелкого (1-5 см) щебня и обломки брекчий и пористых базальтов. Один обломок брекчированного алевропеллитового туфа.		

продолжение приложения

	1	2	3	4	5	6	7
8	2263	$38^{\circ}43,5'$ $\overline{130^{\circ}13,1'}$	1600-1500	Обрыв драги			
9	2264	$38^{\circ}43,5'$ $\overline{130^{\circ}13,0'}$	1600-1500	Драга полная ила с мелкими обломками пористых базальтов.			
10	2265	$38^{\circ}43,6'$ $\overline{130^{\circ}12,2'}$	1500-1400	Драга полная ила и 10 кг породы. ~ 10% обломки (\perp до 5-10 см) туфобрекчий, конгломератобрекчий андезито-дацитового состава. Базальты мелкопористые, иногда брекчированы 90% щебня аналог 2260 обломки разных размеров 0,5-1,5 до 12 см.			
II	2266	$38^{\circ}44,0'$ $\overline{130^{\circ}12,3'}$	1850-1700	Драга полная ила и ~ 15 кг породы. Слабоуплотненные плитки миоценовых пород и остроугольные обломки фосфоритов, незначительное количество мелких обломков измененных брекчированных базальтов, пемзы и ед. галька.			

Продолжение приложения

	1	2	3	4	5	6	7
12	2267	$38^{\circ} 44,1'$ $\overline{130^{\circ} 12,3'}$	1850-1700	Сетка полная ила и обломков пород ~ 30 кг. Преобладают глины и обломки туфобрекчий и базальтов, меньше туфов и диатомитов с фосфори- тами ~ 10%.			
13	2268	$38^{\circ} 43,3'$ $\overline{130^{\circ} 12,6'}$	1450-1400	Драга полная ила и 6-7 кг породы ~ 50% окремненные брекчиеван- ные гиалокластиты в обломках 3-10 см ~ 40% базальты оже- лезненныи микропористые с кру- пными кристаллами цеолитов. ~ 10% диатомиты фосфато- содержащие и фосфориты плотные остроугольные.			
14	2269	$38^{\circ} 44,1'$ $\overline{130^{\circ} 12,4'}$	1800-1700	80 кг крупных глиб и щебня Преобладают брекции базальтоидов окремненные гиалокластиты, туфо- разелиты турбобрекции менее 10% фосфатосодержащих пород двух типов туфодиатомиты пелитовые и диатомиты плотные драга взята на технологическую пробу.			

	1	2	3	4	5	6	7
15	2270	$38^{\circ} 44,3'$ $\frac{130^{\circ} 13,2'}{}$	2000-1850	Полная сетка ила и обломков пород ~ 30 кг крупных обломков гравия и песка. Туфоконгломерато брекции (агломератовные туфы) основного состава, гиалокластиты, базальты мелко- и среднепористые, туфобрекции литогитрокластические. ~ 30% фосфатизированные диатомиты плотные	Технологическая проба.		
16	2271	$38^{\circ} 44,1'$ $\frac{130^{\circ} 13,7'}{}$	2100-2000	~ 100 кг крупных (30 x 30 см) и более мелких обломков. Резко преобладают пористые базальты с шаровой отдельностью, меньше агломератовых туфов и туфогравелитов.			
17	2272	$38^{\circ} 43,4'$ $\frac{130^{\circ} 14,4'}{}$	2050-1900	~ 100 кг пористых базальтоидов, представляющих собой сегменты шаровлавы, единичные мелкие обломки неогеновых пелитов.			
18	2273	$38^{\circ} 43,3'$ $\frac{130^{\circ} 11,9'}{}$	1450-1350	~ 15 кг базальтов и окременных гиалокластитов и одна плоская галька или конкреция фосфатосодержащей породы.			

Продолжение приложения

1	2	3	4	5	6	7
19	2274	$38^{\circ} 42,6'$ $\overline{130^{\circ} 12,2'}$	1350-1300	Драга полная ила и ~ 15 кг породы. Глины до 30 см гиалокластитов. На поверхности корка $Fe-Mi$.		
20	2275	$38^{\circ} 43,5'$ $\overline{130^{\circ} 12,5'}$	1600-1500	Сетка ила и 2 кг мелкого щебня преимущественно из остроугольных обломков фосфатизированных диатомитов и несколько обломков гиалокластита в. Технологическая проба.		
21	2276	$38^{\circ} 44,2'$ $\overline{130^{\circ} 12,9'}$	1850-1800	Сетка ила и пород около 7 кг. Агломератовые туфы основного состава с коркой $Fe-Mi$, брекчиированные гиалокластиты, туфогравелиты, рыхлые выветрелые, пористые выветрелые базальты. ~ 50% фосфатизированных плотных диатомитов и рыхлых светлых фосфоритов.		
22	2289	$38^{\circ} 48,9'$ $\overline{130^{\circ} 00,0'}$	1500-1350	3 кг мелких обломков (3-5 см) граниты серые мелкокристаллические. Граниты розовато-серые среднекристаллические. Граниты серые гнейсовые мелкокристаллические. Фосфатизированные диатомиты (600-700 гр.). Галька различных пород.		

продолжение приложения

	1	2	3	4	5	6	7
23	2296	$38^{\circ} 39,5'$ <hr/> $131^{\circ} 14,8'$	1650-1600	Полигон Т8-Г			
				15-20 кг мелких обломков пород Преобладают кислые тунн., меньшие окварцованных кислых тунн. туфоконгломератобрекчи, единичные полукостенные облом- ки гранитоидов и габброидов.			
24	2297	$38^{\circ} 39,5'$ <hr/> $131^{\circ} 14,5'$	1450-1350	Полигон Т8-Г	более 100 кг крупных (20-30 см) глыб и более мелких обломков кислых вулканических пород: лавы агломератовых туфов.		
25	2298	$38^{\circ} 40,3'$ <hr/> $131^{\circ} 15,4'$		Обрыв драги			
26	2307	$40^{\circ} 34,8'$ <hr/> $132^{\circ} 03,2'$	3200-3100	Полигон 27 "Гэбасс"	Драга поднята с порогной сеткой несколько мелких ($\frac{1}{2}$ -2 см) об- ломков выветрелых базальтов		

Приложение к приложению

1	2	3	4	5	6	7
27	2308	$40^{\circ} 35,0'$ $\overline{132^{\circ} 03,0'}$	3200-3000	10 кг небольших (10-15 см) глыб и обломков базальтов, туфоконгломератов и цеменных глинистых пород одина глиба (25 см) пемзы.	86	
28	2309	$40^{\circ} 34,6'$ $\overline{132^{\circ} 05,5'}$	2600-2500	10-30 кг крупных (30 x 20 см) глыб и мелких обломков базальтов, апломокератовых туфов и несколько кусков слабоуплотненных туфогенно-осадочных пород.		
29	2310	$40^{\circ} 34,3'$ $\overline{132^{\circ} 06,3'}$	2200-2100	\sim 60 кг мелкий щебень и несолько глыб (20-25 см) базальтов и агулюмератовых туфов, меньше уплотненных обломков вулканогенно-осадочных пород. Несколько галек и валун кв. породиров.		
30	2311	$40^{\circ} 31,7'$ $\overline{132^{\circ} 10,3'}$	3100-2900	Сетка крупных (25 см) сегментов глыб шаровых лев базальтов, один обломок м/христал. сверло зеленого гранита, один обломок белльзита, несколько обломков туфодиатомита и проблематическая окаменелость.		
31	2312	$40^{\circ} 33,4'$ $\overline{132^{\circ} 08,4'}$	2500-2400	\sim 200 кг крупных (30 x 40 см) глыб пористых шаровых лев базальтов, несколько обломков диатомитов и галек.		

продолжение приложения

1	2	3	4	5	6	7
32	23 В	40° 31,5' 132° 10,2'	3400-3250	~50 кг измененных базальтоидов, слабоуплотненных осадочных пород, один железомарганцевых корок, один полукатанный обломок песчаника.		
33	23 Г4	40° 31,3' 132° 11,2'	3200-2900	100 кг базальтовых шаровых лав и несколько обломков слабоуплотненных алевролитов.		
34	23 Г5	40° 31,5' 132° 09,4'	2700-2500	70-80 кг глиб и обломков шаровых базальтовых лав, один обломок тела кислого состава, несколько галек кислых эфузивов.		
35	23 Г6	40° 38,0' 132° 03,3'	2300	Драга пустая		
36	23 Г7	40° 38,0' 132° 07,0'	2900-1800	~5 кг небольших глыб и щебня базальтов, тuffов и слабоуплотненных туфогенно-осадочных пород.		
37	23 Г8	40° 37,0' 132° 04,1'	2100-2000	~30 кг мелкопористых базальтов, агломератовых основных тuffов, туфогравелитов, один обломок гранита розового мелкокристал.		

приложение приложения

1	2	3	4	5	6	7
38	2319	$40^{\circ} 39,7'$ $\overline{132^{\circ} 03,4'}$	2100-2000	~ 5 кг мелкого щебня базаль- тов несколько обломков туфо- гравелита, $F_{e-M_{ch}}$ корки немного гальки.	68	
39	2320	$40^{\circ} 45,8'$ $\overline{132^{\circ} 07,0'}$	3200	Драга пустая		
40	2321	$40^{\circ} 45,0'$ $\overline{132^{\circ} 06,0'}$	2900-2700	~ 1 кг плитчатого щебня слабо уплотненных осадочных пород, обломков пемзы и 10 шт мелкой гальки.		
41	2322	$40^{\circ} 37,7'$ $\overline{132^{\circ} 53,7'}$	3100	Драга пустая		
				Полигон 16-В		
42	2323	$38^{\circ} 48,6'$ $\overline{129^{\circ} 59,8'}$	1450-1300	Драга с илом		
43	2324	$38^{\circ} 49,8'$ $\overline{130^{\circ} 01,7'}$	1550-1400	Драга пустая		

5

4

3

2

7

44 2325 $\frac{38^{\circ} 48,7'}{129^{\circ} 57,5'}$ 1300-1350 \sim 30 кг небольших (до 15 см) глыб и обломков железомарганцевой корки, граниты мелко- среднекристаллические. Вт-Н6 выветрелые несколько фрагментов.

45 2326 $\frac{38^{\circ} 48,8'}{130^{\circ} 00,7'}$ 1450-1300 Ил и несколько обломков ожелезненной пемзы.

46 2327 $\frac{38^{\circ} 47,7'}{129^{\circ} 59,4'}$ 1400-1300 \sim 20 кг небольших обломков гранита серые среднекристалличесные аналог 2325. Гранит серый мелкокристаллический с гранатом, меланократовый с гранатом, гранитогнейс мелкозернистый. Мелено-кристаллический.

47 2328 $\frac{38^{\circ} 47,8'}{129^{\circ} 57,5'}$ 1450-1350 5 кг мелких обломков гранитов серых среднекристаллических. Биотитовые и одна глина плотного базальта.

48 2332 $\frac{38^{\circ} 33,1'}{130^{\circ} 07,7'}$ 1800-1700 \sim 1,1 кг обломков гранитов преимущественно туфобрекчий и пемзы, несолько обломков щоссатизированных плотных пород.

49 2333 $\frac{38^{\circ} 35,0'}{130^{\circ} 10,2'}$ 1800 Драга с илом

ПРОДОЛЖЕНИЕ ПРИЛОЖЕНИЯ

		1	2	3	4	5	6	7
50	2334	$38^{\circ} 33,0'$ $\overline{130^{\circ} 11,0'}$	1800-1700	\sim 50 кг обломков и отдельных глыб песчаники m/z до гравелитовых с охислом Fe песчаник серый мелкозернистый кварцитово-видный гнейсы биотитовые мелкозернистые конгломераты и туфобрекчии.	28			
51	2335	$41^{\circ} 42,9'$ $\overline{132^{\circ} 20,0'}$	1850-1700	Поднято \sim 20 кг обломков по-ристых выветрелых базальтов (преобладают), стекловатых лавобрекчий. Ед. обломки фельзит-порфиров, диоритов (?), песчаников и алевролитов. Слабоуплотненные туфопесчаники неогена. Галька элюзивов.				
52	2336	$41^{\circ} 43,3'$ $\overline{132^{\circ} 21,3'}$	1800-1700	Поднята одна крупная (50 x 40 см) глыба грязновато-зеленых, пропитанных железомарганцевыми окислами брекчий гиалокластитов (?). Несколько обломков пористых базальтов и неогеновых слабоуплотненных туфодиатомитов (?).				

КАТАЛОГ СПАСИИ ОПРОВОДАНИЯ ЧЕТВЕРТИЧНЫХ ОТЛОЖЕНИЙ

Номер п/станции	Широта долгота	Глубина, м	Геоморфологическое положение	Пробоот- борник	Горизонт, см	Краткая характеристика осадка
1 2	1 3	4	5	6	7	8
						Японское море, Восточно-Корейская возвышенность (корейская экономическая зона), Полигон Т6-Д
2 2258	38°44,2' 130°11,2'	1500-1600	Безымянная подводная драга на возвышен., верх- няя часть северного склона	0-40		Ил мелкоалевритовый слабо кремнистый (с биогенным кремнистым материалом до 12%), зеленовато-серый, однородный, неслоистый, мягкий, с редкими гнездами (до 1 см) мелкозернистого вулканического песка.
2 2260	38°43,8' 130°12,1'	1350-1450	У вершины безымян- ного вулкана	Драга	Верх	Песок среднезернистый (после отмыки) полимиктовый (?), темно-зеленовато- серый, с обломками базальтов и глау- конита
3 2264	38°43,6' 130°12,9'	1500-1600	У вершины подводного гто безымянного вул- каны, с северо-восто- чной стороны, на вы- полненном склоне	Драга	Верх	Ил алевритово-плитовой слабо кремнистый (с биогенным кремнистым материалом 10-12%), зеленовато-серый, однородный, неслоистый, мягкий, с очень редкой галькой кварцитов и жильных пород. Галька округлая, уплощенная, хорошо окатанная, размером от 2 до 7 см

2266	38°44', 1, 130°12,2'	1700-1850 Безымянный подвод- ный вулкан, север- ний склон, у верши- ны	Драга	Верх (полная драга)	После промывки скользких пород	-"	Ил алевритово-пелитовый терригени- ческий, слабо кремнистый (с биогенным кремнистым материалом - диатомеями; радиолитиями, кремнистыми спикулами, до 10-12%; с биогенным карбонатным материалом - обломками фораминифер до 7%), зеленовато-серый, однородный, не- слоистый, плотный, с редкими обломка- ми гравелитов и фосфоритов
2267	38°44', 4, 130°12,4'	1750-1850 Там же, средняя часть склона	Драга	Драга	0-3	Песок среднезернистый, вулканоликто- вый (?), темно-серый с зеленоватым оттенком, с обломками туфов базаль- тов и фосфоритов	
2270	38°44', 4, 130°13,2'	1850-2000 Там же	Драга	Дночер- патель	0-3	Песок среднезернистый, вулканоликто- вый, темно-серый с зеленоватым отте- нком, с обломками эфузивов, неоге- новых пород, фосфоритов	
7 2277	38°43', 55, 130°11,2'	1500 Безымянный подвод- ный вулкан	Дночер- патель	-"	3-25	Ил алевритово-пелитовый терригенный, бурый (окисленный слой), жиркий, с редкими мелкими включениями дресвы эфузивов, с диатомеями до 5%	
8 2278	38°44', 05, 130°11,3	1700 Там же	-"	0-25	Крупный алеврлит (или песчанистый) эдафогенный, сверху (0-3 см) - бурый, жиркий, ниже - полуобрато-серый, пло- тный, засорен песчаным материалом. Осадок состоит из зерен глауконита, кварца, вулканич. стекла, эптузивн. по- род, полевых шл., глинист.		

2
2273 38°44', 4';
 I30°II, 45 1780
 Безымянный подвод-
 ный вулкан
 Дночес-
 патель

3
2
1
0
7
6
5
4
3
2

Крупный алеврит эдабогенный, бурый
(окисленный слой), жидкий, со щебнем
базальтов до 3%.

Ил пелитовый диатомовый, кремнистый,
светло-серый, однородный, неслоистый,
без включений, очень плотный. Состоит
на 55–60% из кремнистого диатомово-
го материала; обломочных минералов
(кварца, п.ш., темноцветных, слюды) –
20–25%; глинистых минералов

2-7

Ил пелитовый диатомовый, кремнистый,
светло-серый (окисленный слой) жидкий, с бо-
льшим количеством (до 30%) песчаных
частиц. Среди алевритовых частиц
вулканическое стекло, глауконит (в
виде зерен неправильной формы); из
биогенных присутствуют диатомеи –
до 3%

0-7

Там же

38°44', 75;
I30°II, 75

2280

Ил мелкоалевритовый эдабогенный, су-
рый (окисленный слой) жидкий, с бо-
льшим количеством (до 30%) песчаных
частиц. Среди алевритовых частиц
вулканическое стекло, глауконит (в
виде зерен неправильной формы); из
биогенных присутствуют диатомеи –
до 3%

7-15

0-0,5
–"–
38°44', 9;
I30°II, 4

2281

Ил мелкоалевритовый эдабогенный, су-
рый (окисленный слой), жидкий, без
включений, с диатомеями до 2%; за-
легает несогласно на нижележащих
осадках

0,5-5

–"–
38°44', 9;
I30°II, 4

2282

Ил пелитовый светло-серый с зелено-
ватым оттенком, мыльный на ощупь, оч.
плотный, однородный, неслоистый, без
включений

2	2282	38°44' 3", I30 II, 85	Безымянний вулкан дночертан- тель	8
3	2283	38°43' 74", I30 II, 9,	Там же	7
14	2284	38°44' 08", I30 II, 90	"	6
				5
				4
				3
				2

Ил мелкоалевритовый до крупного алеврита, элафогенный, с гнездами (1-2 см) тонкозернистого глауконитового песка. Ил засорен песчаным материалом (глауконитом, реже кварцем, п.шп.) снесенным с верхней части склона. Ил желтовато-серый, несортированный, типичный для склонового ряда, сформирован за счет разрушения неогеновых диатомитов, туфов базальтов

Крупный алеврит элафогенный, буровато-коричневый (окисленный слой), жидкий, обогащен песчаным и дресвяным материалом вулканогенных пород (базальтов), снесенным с верхней части вулкана

Ил мелкоалевритовый (песчанистый III) слабо кремнистый (с диатомами до 12-15%), зеленовато-серый, мягкий, обогащен песчаным и дресвяным материалом туфов эфирузивов; с редкими глиняными фосфоритами

Крупный алеврит элафогенный, бурый, мягкий, с песчаным материалом до 25%. В псаммитовых зернах обломки пород и глауконит

Крупный алеврит зеленый с буроватым оттенком -кора выветривания (элювий, целовий) коренных неогеновых пород или туфов эфирузивов. В осадке в псаммитовых зернах глауконит

97

8
7
6
5
4
3
2
1
135-145
Ил алевритово-пелитовый терригенный, зеленовато-серый, мягкий (плотность уменьшается), однородный, с Fe-MP микроконкремциями до 3-5%, в конце инт. насыщен фтороминералами.

I45-I55 Ил мелкоалевритовый фтороминеральный, известковистый, тонично-беловато-серый (за счет фтороминер.), от средней плотности до плотного, в инт. 149-155 см пересыпан фтороминералами. Обломков и целых фтороминер в осадке 35-40%, Fe-MP микроконкреций 1-2%.

I55-I67 Ил пелитовый терригенный, голубовато-серый, плотный, однородный, неслойстый, мыльный на ощупь, с единичными округлыми обломками пемзы. Ил состоит из глинистых минералов и терригенной обломочной части; биогенного карбонатного материала до 1-2%, встречаются единичные диатомии; Fe-MP микроконкреций до 3%.

I67-I72 Правийно-дрессвязанный горизонт пемзы. Пемза со сложенными улами и угловатая, кислого(?) состава, серая, преобладает размер 5-7мм, реже до 1 см, заполнитель - ил алевритово-пелитовый

I72-I88 Ил алевритово-пелитовый терригенный, зеленовато-серый, подобный инт. I35-145 см, но очень плотный, с биогенным карбонатным материалом (фтороминералами) до 2-3%, с Fe-MP микроконкрециями до 3%

- 99
- Ил алевритово-пелитовый (в начале инт.) до мелкоалевритового (в середине и в конце инт.), от слабо известковистого до известковистого, фоламиниферового, светло-серый и сизовато-серый, неслоистый, без включениями, плотный; с фрагментами и их обломками от 15-17% вверху инт. до 30-40% - внизу интервала.
- Ил пелитовый терригенный, голубовато-серый, плотный, комковатый, перемытый, без включений; с биогенным карбонатным материалом до 5-7%
- Ил мелкоалевритовый терригенный, слабо известковистый, тонкослоистый (за счет тонких прослойков фрагментов), серый, от средней плотности до мягкого в конце интервала; с фоламиниферами и их обломками до 15-25%, с Fe-Mn микроконкремциями до 5%
- Ил пелитовый терригенный, в инт. I23-I27 см - слабо известковистый; серый с зеленоватым оттенком, без включений; в инт. I27-I50 см - пятнистый и слоистый за счет чередования голубовато-серого и темно-зелено-серого; до глубины 165 см - мягкий и средней плотности, ниже - плотный. Ил с Fe-Mn микроконкремциями до 2-3%, с диатомеями (в начале инт.) до 1/2, в конце инт. - без диатомей
- Ил алевритово-пелитовый терригенный, зеленовато-серый, однородный, неслоистый, без включений, плотный; с биогенным кремнистым материалом в начале инт. до 3-5%, в конце инт. до 10%

2292	38°49', I, 130°05', 9	1920	Восточно-Корейская Трубка возвышенности, в нижней части скло- на	0-2	Ил пелитовый терригенный, слабо крем- нистый, бурый (окисленный горизонт), жидкий, без включений; с диатомами до 12%, с бурыми окислами Fe до 3%, с Fe-III микроконкремциями до 3-5%.
		2-64			Ил пелитовый терригенный, слабо крем- нистый, зеленовато-серый, в инт. 2- 10 см - мягкий, ниже - плотный, одно- родный, неслойистый, со слабым запа- хом сероводорода, без включений; с богатыми кремнистым материалом от 8-10 до 15-20%, с обломками форамини- фер до 3-5%.
		64-133			Ил пелитовый терригенный, от темно- зеленовато-серого до светло-серого, средней плотности (вверху инт.) и мягкий (внизу инт.), слабо слоистый, без включений. В инт. 123-127 см го- ризонт фораминиферового алевритово- пелитового шла. Пелитовый или с еди- ничными обрывками диатомей и облом- ками фораминифер до 1-2%; форамини- феровый алевритово-пелитовый или с карбонатным материалом до 15%.
		133-156			Ил пелитовый терригенный, слабо изв- вестковистый, темно-зеленовато-серый, однородный, неслойистый, средней плот- ности, без включений, с обломками фо- раминифер до 15-20%.
		156-183			Ил алевритово-пелитовый слабо извест- ковистый (светлые слойки) и территен- ный с диатомами от 3-5 до 8% (темные слойки), от светло-серого до (тонкие прослойки до темно-зелено-серого (про- слойки 2-5 мм) тонкослоистый, сред- ней плотности, без включениями

2293 38°45', 9,1' 2770 130°16', 1' Восточно-Корейская Трубка
возвышенность, по-
дножье склона

8

Ил пелитовый терригенный, слабо крем-
нистый, бурый, с горизонтами на 7-8
см, 14-14,5 см и 16-17 см - темно-бу-
рого до черного (горизонты пересчи-
тины Fe-Mп); в инт. 0-1 см - жидкий, ни-
же - очень мягкий (плотез), без вклю-
чений, однородный, слоистый (за счет
полос более темного ила). Это окислен-
ный горизонт с диатомеями вверху инт.
до 10-12%, в средней части - до 6%,
а внизу инт. - до 12%; с Fe-Mп микро-
конкремциями и бурыми окислами Fe до
15-20%

Г7-54

Ил пелитовый терригенный, слабо крем-
нистый, серый со слабым голубоватым
оттенком, однородный, неслоистый, без
включений, мягкий; в инт. 21-22 см и
44-45 см - плотный, комковатый (перемя-
тый); с диатомеями до 15%, с единич-
ными обломками фрагментами и бурыми окис-
лами Fe, каждого до 3%

54-65

Ил алевритово-пелитовый терригенный,
зеленовато-темно-серый, твердо-жесткий,
мягкий (очень), однородный, неслоистый,
без включений, с диатомеями до 3-5%,
с Fe-Mп микроконкремциями и бурыми окис-
лами Fe, каждого до 3%

65-70

Ил мелкоалевритовый известковистый,
темно-грязно-зелено-серый, оч. мяг-
кий, твердо-жесткий, тонкослоистый (за счет
тонких 1-1,5 мм прослойков фрагментов и
глинистого материала), фрагментированый,
без включений. С обломками фрагменти-
фер 20-30%, с диатомеями 3-5%, с Fe-Mп
микроконкремц. до 5%, с бурыми окисла-
ми Fe до 1%, с обломками пузирчатого
булканич. стекла

- 102
- | | | | | |
|---|---|--|---|--|
| <p>70-94</p> <p>Ил пелитовый терригенный, от темно-грязно-зелено-серого до светло-серого, однородный, неслоистый; вверху инт. —мягкий с единичными диатомиями и единичными обломками фиораминифер, внизу — средней плотности и с диаграммами до 2-3%.</p> | <p>94-94,5</p> <p>Фиораминиферовий горизонт мелкоглесчаной размерности (в виде прослойка), светло-беловато-серый, хорошо сортированный; состоит в основном из фиораминифер, реже из Fe-Mп микроконкремций и отдельных обломков вулканич. стекла</p> | <p>94,5-105</p> <p>Ил алевритово-пелитовый терригенный, темно-зеленовато-серый, средней плотности, без включенияй, однородный, без диатомей и без фиораминифер, с Fe-Mп микроконкремциями до 3%, с бурыми окисями Fe</p> | <p>105-186</p> <p>Ил пелитовый терригенный, в инт. 141-142 и 159-160 см — слабо известковистый, от темно-зеленовато-серого до светло-серого, средней плотности, без включенияй, слоистый (за счет чередования прослойок различного цвета)</p> | <p>186-233</p> <p>Ил пелитовый, вверху инт. (186-207 см) терригенный с бурыми окисями Fe, обломками пещевого материала и Fe-Mп микроконкремциями до 10%, с редкими диаграммами и обломками фиораминифер до 1%; в средней части (инт. 207-217 см) — слабо известковистый с фиораминиферами до 15% и редкими диатомиями; внизу инт. — терригенный с обломками фиораминифер до 1%. Ил от темно-зелено-серого до светло-серого</p> |
|---|---|--|---|--|

2294 38°44', 8'
130°30', 2' 3040
В котловине у Восточно-Корейской возвышенности

Ил пелитовый терригенный, слабо кремнистый, бурый (окисленный горизонт), в инт. 0-1 см - жицкий, ниже - мягкий, без включений, однородный, с диатомами до 15-25%.

Ил алевритово-пелитовый терригенный, темно-бурый (окисленный горизонт), мягкий, неслюистый, без включений, в инт. 13-15 см с повышенным содержанием Ге-Мп; с Ге-Мп микроконкремциями до 6-10%, с диатомами до 1-2%.

10-15
15-61

Ил пелитовый, вверху инт. слабо кремнистый (диатомы в осадке 10-15%), также терригенный с диатомами до 3-5%. Ил светло-серый, в инт. 15-30 см - оч. мягкий, 30-42 см - мягкий, 42-46 см - комковатый, перемятый, плотный; ниже - мягкий и очень мягкий; по составу однородный, без включений, с биогенным карбонатным материалом (обломками фораминифер) до 1-3%.

61-106,5

Ил пелитовый терригенный, зеленовато-серый, мягкий, однородный, неслюистый, без включений, с диатомами до 5-7%, с обломками фораминифер от 3 до 10%.

106,5-115,5 Крупный алеврит, фораминиферовый, известковый (фораминиферовый горизонт), серый с зеленоватым оттенком, без включений, однородный; состоит из целих и обломков фораминифер (50-60%), Ге-Мп микроконкремций (5-7%), диатомей (3-5%), обломков пузирчатого вулканического стекла (до 1%) и глинистых минералов

Ил пелитовый терригенный, зеленовато-серый, мягкий, однородный, неслоистый, без включений, с диатомеями до 3%, с тонкораспыленным карбонатным материалом до 3-5%, с Fe-Mп микропелитами 3-5%.

Ил мелкоалевритовый терригенный, слабо известковистый, зеленовато-серый, мягкий, однородный, без включений, с диатомеями до 3-4%, с Fe-Mп микропелитами от 3 до 7%.

Ил пелитовый терригенный, буровато-серый (окисленный горизонт), тонкослоистый (за счет чередования различных по цвету полос), от жидкого до мягкого, без включений, с Fe-Mп микропелитами до 7-10%, с единичными диатомеями.

Ил пелитовый терригенный, серый (восстановленный горизонт), мягкий, *мий*, с единичными диатомеями, неслоистый; в инт. 24-25 см и 41-46 см с прослойками перемятого плотного комковатого пелитового ила, вероятно, более древнего, сползшего со склона в мягкий голоценовый пелитовый ил

Ил алевритово-пелитовый терригенный, зеленовато-серый, мягкий, однородный, неслоистый, без включений

Мелкий алеврит фераминиферовый, известковый (фераминил горизонт), зеленовато-серый, тонкослоистый, средней плотности, с обломками вулканической стекла, с Fe-Mп микропелитами до 5%, с единичными диатомеями

II15,5-216

216-219

В котловине у Восточно-Корейской возвышенности

0-15

38°42'9';
130°45'2"

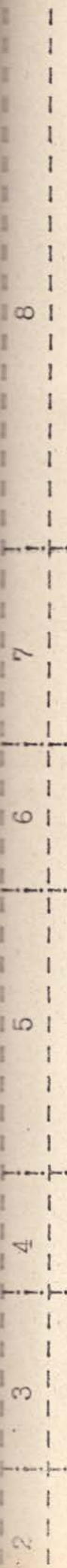
3080

2295

15-50

50-65

65-67



Ил пелитовый терригенный, темно-зелено-серый, мягкий, неслоистый, без вклю-
чений, с редкими обломками вулканич.
стекла, с Fe-Mп микроконкремциями, с
редкими диатомеями, с тонкораспылен-
ним карбонатным материалом до 3%
конкремциями до 2-3%

Ил пелитовый терригенный, зеленовато-
серый, однородный, неслоистый, без
включений, мягкий, с тонкораспыленным
карбонатным материалом до 8-10%, с
единичными диатомеями, с Fe-Mп микро-
конкремциями до 2-3%

Турбидитный горизонт. Внизу (в начале
ритма) в инт. 156,5-156 см - грубоэзер-
нистые гравелистые пески, представленные
обломками пемзы, склеенными в ком-
очки фрагментами, комочками плотно-
го глинистого материала; выше (инт.
156-153 см) - песок тонкозернистый, фо-
раминиферовый, известковый, хорошо от-
сортированный, с обломками свежего ква-
рца, вулканич. пузырчатого стекла, хло-
риата, глауконита, Fe-Mп микроконкреме-
ции; еще выше (инт. 153-151 см) - крупный
алеврит, фораминиферовый, известковис-
тый. В этой части ритма фораминиферы
меньше по размеру или раздроблены, их
до 30% объема. Значит, часть осадка
здесь представлена (до 60%) обломоч-
ным кварцем, п.ш., реже вулканич. стек-
лом, бурыми окислами железа, Fe-Mп мик-
роконкремциями, глинист. мин.; вверху
ритма (151-146,5 см) - осадки еще то-
нкие - это уже мелкоалевритовые или,
которые выше, в самом конце, перехо-
дят в алевритово-пелитовые терригенные
илы с тонкораспыленным карбонатным ма-
териалом до 5%

8

6

5

4

3

2

Ил алевритово-пелитовый слабо известковистый, с 169 см терригенный с значительной примесью вулканогенного материала, в значительной мере (до 70%) состоит из угловатого обломочного кварца, п.шп., бурых зерен (возможно окисленное вулканич. стекло), рог. обм., биотига, из оболгенных - тонкораспыленный карбонатный материал в виде чешуек - до 2-3%, встречаются единичные диатомеи. Ил темно-серый до черно-серого, мягкий, в инт. 162-162,5 см - с пемзовым го-ризонтом, в инт. 170 см с перемычками осадками.

Г74-179

Ил мелкоалевритовый известковый, фтороминеровый, светло-серый, средней плотности, без включений; состоит из пелых и обломков фтороминералов (55-60%), глинистого и терригенного материала (до 40%).

Г79-191

Ил алевритово-пелитовый терригенный, в начале инт. светло-серый, с 185 см - зеленовато-серый, средней плотности, без включений, однородный, неслойистый; состоит из глинистых минералов и терригенной обломочной части (кварца, п.шп.), чешуек слюды, темноцветных мин. (Fe-Mg микроконкремций до 3%, тонкораспыленного карбонатного материала до 3%); диатомеи отсутствуют

Г91-194

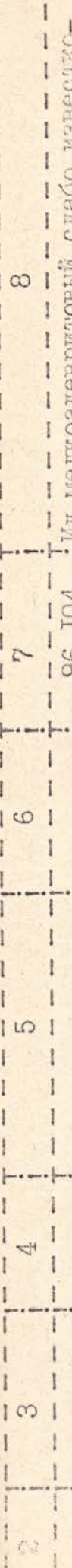
Крупний алеврит (песок тонкозернистый) вулканомиктовый, серый, состоит из угловатых совершенно неокатанных зерен кварца, п.шп., вулканич. стекла, темноцветных мин., обломков вулканич. пород, единич. зерен глауконита; фрагменты мер. дюн-

2	3	4	5	6	7	8		
194-199	Ил пелитовый светло-серый, перемятый, компактный (по-видимому, сплющенный горизонт), средней плотности							
199-223	Ил пелитовый слабо известковистый, от темно-зеленовато-серого до серого, с чуть заметной горизонтальной слоистостью, однородный, без включений, с биогенным карбонатным материалом (в виде мелких чешуек) до 10-12%, с Fe-Mn-микроконкремциями до 12-15%, с единичными диатомеями							
2299	На пологом склоне дночерпатель	0-25	Ил алевритово-пелитовый терригенный, слабо кремнистый, сверху (0-3 см) - буровато-серый (окисленный горизонт), жидкий; ниже - зеленовато-серый (востановленный горизонт), мягкий, однородный, неслоистый, с редкими угловатыми обломками эвбузитов. Ил состоит из глинистых минералов, терригенной обломочной части; биогенных кремнистых частичек (диатомей, радиоларий, кремнистых спикул) до 12-15%; карбонатных частичек (обломков фораминифер) -3-5% и аутогенных минералов - глауконита (в виде зерен неправильной округлой формы)					
2300	На склоне	0-10	Ил алевритово-пелитовый эдагогенный то-тмортлонитовый (?), светло-серый, однородный, неслоистый, очень плотный, состоит почти нацело из глинистых минералов (монтмориллонита (?)), лишен биогенного материала. Возможно образован в результате разложения хлоритовых турбоэвбузитов (встречаются обломки кристаллов стекла)					
2305	На склоне	To же						

26	2301	38°37,68, 131°17,25	1650	На склоне	Дночерпатель	0-3	Крупный алеврит (или песчанистый) слабо кремнистый, дигитомовий, бурый, жидкий до мягкого, засорен песчаным материалом (глауконитом), с единичной хорошо окатанной галькой, с обломками эмальузивов, пемзой и обломками фосфоритов
27	2302	38°37,48; 131°16,80	1450	На склоне почти лишенном осадков	3-12	Крупный алеврит глауконитовый, зелено-вато-серый, от мягкого до средней плотности, с обломками эмальузивов, их туфов, фосфоритов	
28	2305	38°40,24; 131°16,05	1400	Верхняя часть склона	0-I	Песок среднезернистый (на дне черпака) темно-серый, хорошо сортированный, с угловатыми обломками эмальузивов и хорошо окатанной галькой	
29	2329	38°54,7; 129°51,4	1130	Трубка	I-IO	Крупный алеврит эдабогенный, бурый, жидкий (окисленный горизонт), засорен песчаным материалом. В осадке псаммитовые зерна представлены в основном вулканическим стеклом, реже п.шп., глауконитом	
30					108	Крупный алеврит слабо кремнистый, зеленовато-серый, плотный, неслоистый, со щебнем эмальузивов, галькой кварца, метаморфич. и др. пород, с пемзой	
31						Ил алевритово-пелитовый терригенный, слабо известковистый, зеленовато-серый, однородный, неслоистый, без включений, от жидкого (вверху) до средней плотности (внизу), с биогенным карбонатным материалом до 15%, с дигатомеями до 3%	

8
7
6
5
4
3
2

- 109
- Ил алевритово-пелитовый слабо известковистый, зеленовато-серый, очень плотный, в инт. 38-43 см ил перемятый (возможно за счет оползания), ниже без следов смятия, с обломками фрагментами до 12-15%, с бурыми окислами железа и Fe-Mn микроконкремциями до 5% каждого, с единичными диатомами
- Ил алевритово-пелитовый слабо известковистый, зеленовато-серый, местами пятнистый (за счет изменения окраски), в инт. 54-63 см с вытянутой по керну линзой мелкоалевритового фрагментарного ила; очень плотный
- Ил мелкоалевритовый фрагментарный, известковистый, в инт. 63-85 см с включением в серый ил угловатых комочков зеленовато-серого ила, очень плотный; на границе 85 см четкий резкий контакт с нижележащей частью слоя. Нижняя часть также представлена мелкоалевритовыми илами, но они зеленовато-серые с включениями в них (в виде округлых обломков) серым того же состава илами. Вверху в шлаках фрагменты 35-40 до 50%, вниз по разрезу количество их уменьшается до 25-30% Fe-Mn микроконкремций в осадке до 5-7%, встречаются единичные диатомы
- Ил алевритово-пелитовый слабо известковистый, до известковистого, с белогенным карбонатным материалом до 30-35%, серый, пятнистый, неслоистый, очень плотный



Ил мелкоалевритовый слабо известковистый, светло-серый, однородный, несломистый, очень плотный; состоит из глинистых минералов, алевритовых обломков кварца, п.ш., темноцветных мин. В обломочной части угловатые обломки кислого вулканич. стекла (до 7%), обломки фораминифер и тонкораспыленный карбонатный материал (до 12-15%).

II4-II4 Ил алевритово-пелитовый терригенный, пятнистый (от зеленовато-серого до светло-серого), очень плотный, с обломками фораминифер и тонкораспыленным карбонатным материалом до 10%.

II4-II4 Ил пелитовый терригенный, слабо известковистый, серый, участками зелено-вато-серый, с чуть заметной слоистостью (за счет чередования слойков различной окраски), очень плотный, с обогащенным карбонатным материалом до 12%, с Fe-Mn микроконкремциями до 2%, с единичными обломками вулканич. стекла

II4-II89,5 Турундитный поток, представленный несколькими ритмами. Интервал 124-134,5 см, вероятно, является нижней частью одного из ритмов. Он начинается горизонтом гравия пемзы (инт. 134-134,5 см), выше (инт. 134-124 см) залегают пелитовые или насыщенные комочками других илов, заканчивается ритм (инт. 124-120 см) очень тонкими пелитовыми илами. В инт. 134,5-186 см выделяется 3 микроритма; 186-165 см, 165-152 см, 152-134,5 см. Осадки в микроритмах плотные

8

7

6

5

4

3

2

87-90

Ил алевритово-пелитовый слабо известковистый, зеленовато-серый, однородный, неслоистый, плотный, с биогенным карбонатным материалом (обломками фораминифер) до 12%, без диатомей

90-II5

Ил мелкоалевритовый слабо известковистый, светло-серый с зеленоватым оттенком с прослойками темно-зелено-серого того же состава (мощность прослоек 0,5-1 см); ил плотный, с обломками фораминифер до 18-20%, с Fe-III микроконкремциями до 3%, с пепловым материалом до 3%

II5-II8

Ил алевритово-пелитовый терригенный, серый, однородный, неслоистый, без включения, плотный, с тонкораспыленным карбонатным материалом до 8-10%, с Fe-III микроконкремциями до 3%, с единичными обломками глауконита, без диатомей

II8-II4

Ил мелкоалевритовый эдаботенин, слабо известковистый (с фораминиферами до 12%) с линзоочками (до 0,5 см) крупного алеврита полевошпатово-глауконитового; ил темно-зелено-серый, очень плотный, с 128 по 132 см с мелкими комочками (в виде обломков 2-3 мм) светло-серого ила; в инт. 132-133 см с прослоями (3-5 мм) тонкого полевошпатово-глауконитового песка. Весь горизонт насыщен глауконитовым материалом, встречаются зерна вулканич. стекла

II4-II49

Ил мелкоалевритовый эдаботенин, темно-зелено-серый с комочками (в виде включения) зеленовато-серого, с обломками (5-10 мм) пемзы, с горизонтом (в инт. 144, 5 см) пемзы, с фораминиф. до 10%, с вулканич. стеклом до 2%, с редким глаукон.

8

7
6
5
4
3
2

149-155

Ил мелкоалевритовый от темно-серено-серого до светло-зелено-серого, пятнистый, с видимыми на глаз белыми тонкими фораминиферами. Это переходный горизонт от верхнего (насыщенного глауконитом и вулканитом стеклом) к нижнему (фораминиферовому)

155-190

Крупный алеврлит фораминиферовый, известковый, от травяно-зелено-серого до серо-зеленого, пятнисто-горизонтально-слоистый (за счет тонких, 1-3мм, горизонтально расположенных линзочек из обломков), с отдельными обломками шемзы (до 1см) на горизонтах 172 и 175см. Осадок плотный, почти нацело состоит из фораминифер и их обломков (90-95%), Fe-Mn микроконкремций до 2%, обломков и зерен глауконита до 1-2%, встречаются отдельные зерна кварца и п.ш.

190-220

Ил мелкоалевритовый известковый, зеленовато-серый, пятнистый, с отдельными комочками (1-3мм) в виде включений плотного ила в основную массу осадка. Ил очень плотный, состоит из биогенного карбонатного материала (обломков фораминифер) 45-70%, обломочных зерен кварца и п.ш., Fe-Mn микроконкремций до 2%; в начале инт. с отдельными зернами глауконита

220-248

Крупный алеврлит известковый, зеленовато-серый, пятнистый, оч. плотный, без включений; состоит (в инт. 220-232см) на 60% из фораминифер и их обломков, ниже (инт. 232-248см) этого материала до 70-80%; Fe-Mn микроконкремций до 3%, кварца, п.ш., и пр. минералов до 20%, глауконита до 2-3%, единич. обломки вулканит. стекла

2331 38°59,0', 1020·
129°45,0' 3 4 5 6 7 8

Восточно-Корейская Трубка
возвышенность, у вер-
шины

Крупный алеврит эдайогенит, вулкано-
генно-осадочный, слабо известковистый,
зеленовато-серый, неслоистый, с вклю-
чением темных полос (в виде обрывков
водорослей), в инт. 0-1 см. жилкий, 1-7 см -
мягкий, ниже - пытный; состоит из био-
генного карбонатного материала (фора-
минифер и др. обломков) до 10-12%, ша-
томей -до 2%, вулканич. стекла до 7%,
глауконита до 3-5%, кварца, п.шп., хло-
рита, глинистых и др. минералов

15-43

Ил мелкоалевритовый эдайогенит (?),
слабо известковистый, с редким глауко-
нитом вверху инт., светло-серый со
слабым зелено-ватным оттенком, вверху инт.
(15-30 см) пятнистый (за счет полуразло-
жившихся морских водорослей). Ниже
(инт. 30-43 см) - однородный с единич.
полосами разложившихся морских водо-
рослей. Осадок состоит из обломочного
кварца, п.шп., чешуек слюды, глинистых
и др. минералов; биогенного карбонат-
ного материала (в виде тонкораспыленных
карбонатных чешуек) до 12-15%, п.шп.
микроконкремций до 3%, редкого глаукони-
та

43-80

Крупный алеврит эдайогенит, от слабо
известковистого до известковистого (в
средней части инт.), с глауконитом,
от светло-серого до темно-зелено-серого,
участками пятнистый, плотный; в инт.
62-80 см пересыпан зернами глауконита.
Биогенного карбонатного материала ввер-
ху инт. 12-15%, в средней части - до
30-32%, внизу 15% до 10%, глауконита в оса-
мке от 2 до 15%, диатомей до 1%. Обломо-
чная часть представлена кварцем, п.шп.,
темноцветн. Мин., чешуйками слюды

8

Ил мелкоалевритовый терригенный (возможно эдафогенетический?) с глауконитом до 3%, серый, однородный, неслоистый, в меньшей степени засорен псаммитовыми зернами глауконита, чем предыдущий. Интервал: осадок плотный, с биогенным карбонатным материалом (в виде мелких чешуек) до 3-5%, с крупными псаммитовыми округлыми зернами глауконита до 3%

7

80-95

1

6

5

4

3

2

1

1

7

1

6

1

4

1

3

1

2

1

1

4

1

3

1

2

1

1

2

1

1

8

95-II2

Крупный алевролит эдафогенетический с глауконитом до 15%, зелено-серый, с отдельными обломками (до 5мм) пеплового материала, плотный, с биогенным карбонатным материалом до 5% около 3%. Осадок плотный

Ил мелкоалевритовый со значительной примесью (до 30%) пеплового материала, темно-серый, однородный, неслоистый, с глауконитом псаммитовой размерности

около 3%. Осадок плотный

Ил мелкоалевритовый (песок мелкий глинистый) глауконитовый, темно-серый, оч. плотный, состоит из зерен глауконита -55-60%; глинистых частич, кварца, п.ш., и др. минералов, служащих заполнителем в зернах глауконита

II2-II4

Крупный алевролит (песок мелкий глинистый) глауконитовый, темно-серый, оч. плотный, состоят из зерен глауконита -55-60%; глинистых частич, кварца, п.ш., и др. минералов, служащих заполнителем в зернах глауконита

II4-II5

Крупный алевролит (песок мелкий глинистый) глауконитовый, темно-серый, оч. плотный, состоят из зерен глауконита -55-60%; глинистых частич, кварца, п.ш., и др. минералов, служащих заполнителем в зернах глауконита

I35-II4,5

Песок мелкий аутигенный, глауконитовый, темно-зелено-серый до черного, очень плотный, внизу инт. тонкослоистый, состоит на 90-95% из аутигенных зерен глауконита круглой, удлиненной и неправильной округлой формы, реже встречаются зерна кальцита (угловатой и полуокатанной формы). участками глауконитовые пески с глинистыми минералами (в виде тонких прослоек)